

XXVIII. Martinský
bioptický seminár
SD-IAP

prípad SD-IAP č.795

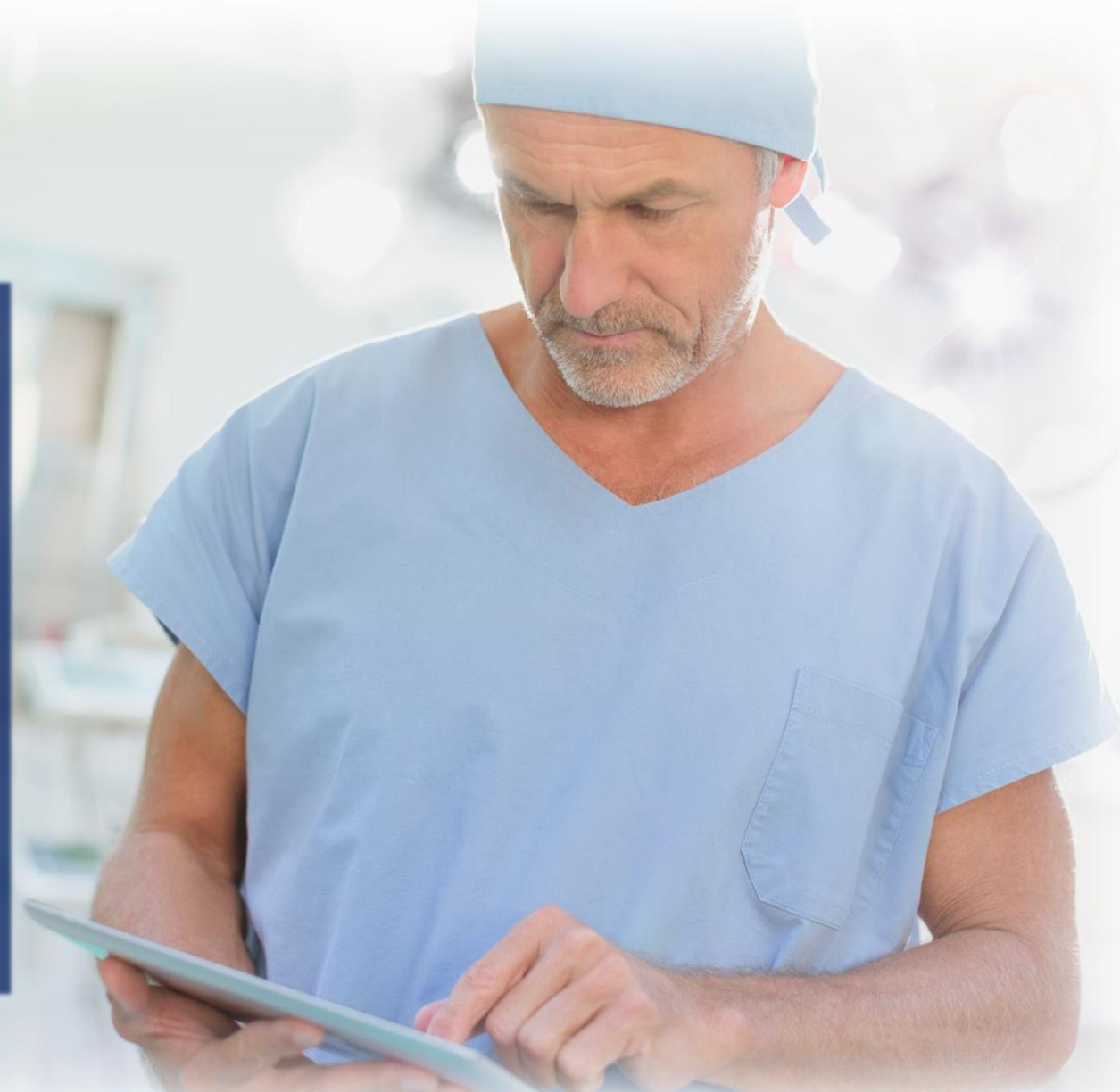
Karol Kajo

Onkologický ústav
sv.Alžbety, s.r.o.

Bratislava

Klinické údaje

- 61-ročná žena
- v júli 2021 vykonaná **hysteroskopia**
pre metrorhagiu s nálezom
atrofického endometria bez atypií
- vyšetrená amb. gynekológom s
nálezom tu v malej panve



Zobrazovacie metódy - CT

Konziliárne vyš. prineseného CT vyšetrenia

zo 16.5.2022 na seminári KOCH dňa 8.6.2022

Uterus vyplnený uzlami, celkovo nehomogénnej štruktúry, celkovo zväčšený, pravdepodobne ide o myomatózu, ale **nedá sa vylúčiť ani malignita uteru.**

Prim. TU ložisko nalieha na fundus vpravo a **pravdepodobne vyrastá z pr. ovária** (solídno-cystické, dobre ohraničené).

Samotnú norm. štruktúru ovárií nediferencujem.

Vpravo parailicky mierne akc. oválne LU, potenc. infiltr. 6mm.

Incip. retikulácie v omonte najskôr na podklade infiltrácie, prítomný je ascites.

Na pľúcach sú viaceré subpleurálne neprav. infiltráty - imponujú **skôr ako pozápalové zmeny ako mts**, odp. sledovať.



KLINICKÁ INTERPRETÁCIA

CT s nálezom tu uteru - leiomyosarkom, karcinomatóza omenta, ascites, mts v pľúcach v S10 vpravo a S9 vľavo

Výsledky hladiny nádorových markerov

27.05.2022



Formalizované Neformalizované Iné zobrazenie

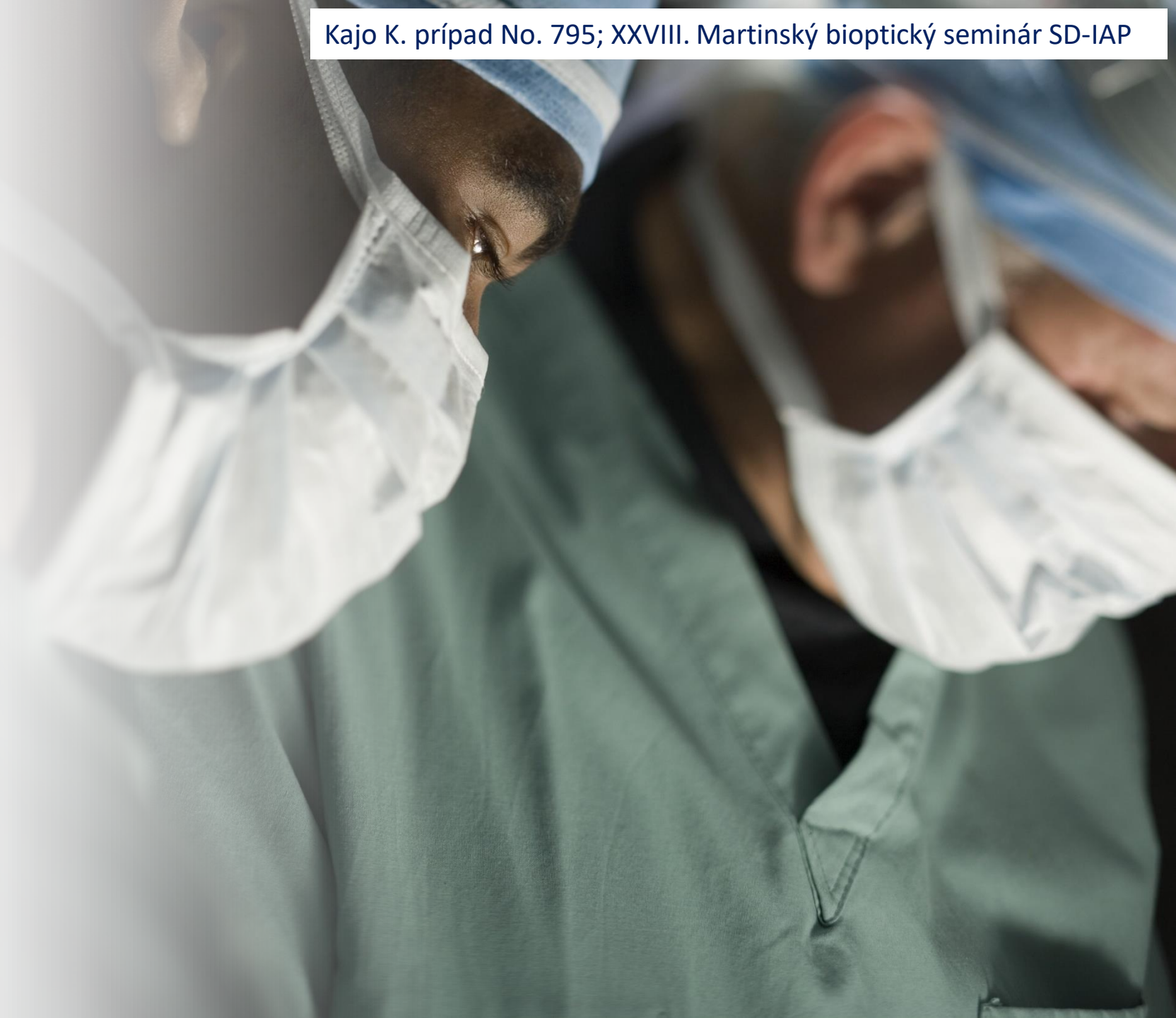
Test	Hodnota	Jednotka	Hodnotenie	K	H	Fyz. medze
CEA - Karcinoembryonálny antigén	13.9	ng/ml	zvýšený			<4.0
CA 19-9 - Uhlohydrátový antigén 19-9	>20020.0	IU/ml	zvýšený			<35.0
CA 125 - Nádorový antigén 125	3309.0	IU/ml	zvýšený			<35.0
TPS - Tkanivový polypeptid. špecifický	26	IU/l	v norme			<80
NSE - Neurónšpecifická enoláza	8.4	ng/ml	v norme			<12.5
HE4 - Ľudský epididymálny protein 4	150.7	pmol/l				
ROMA - premenopauzálny	60.9	%	vysoké			<13.1
ROMA - postmenopauzálny	95.5	%	vysoké			<27.7



v kontexte s klinikou, výsledkami zobraz. metód bolo indikované operačné riešenie

Operácia (14.07.2022)

- **hysterektómia s obojstrannou adnexotómiou**
- **omentektómia**
- **POB – jednoznačná malígna epitelová neoplazma (EC? SEC?) – typizácia ponechaná na definitívnu histológiu**
- **lymfadenektómia kontraindikovaná pre zlý stav pacientky počas operácie**

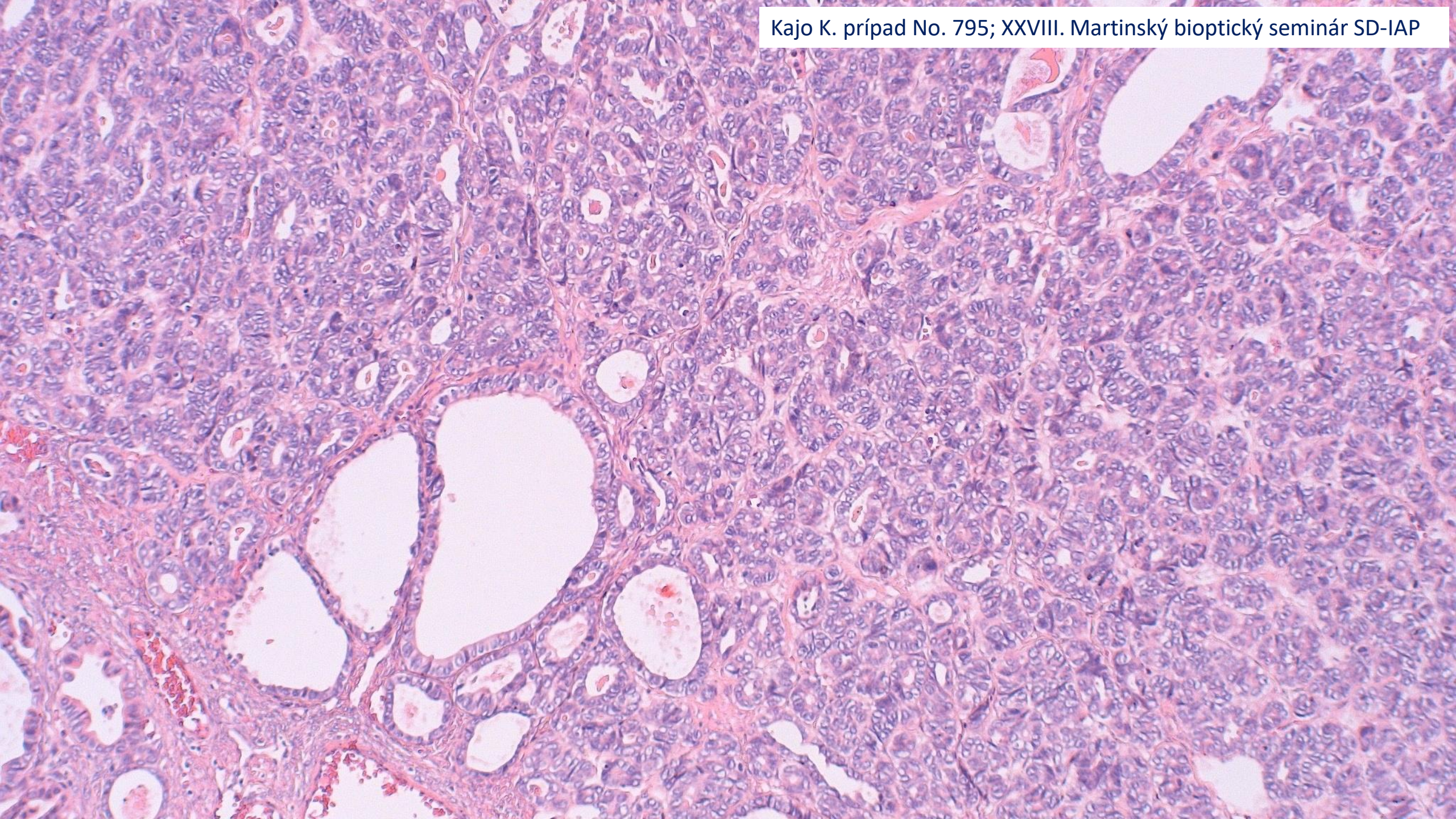


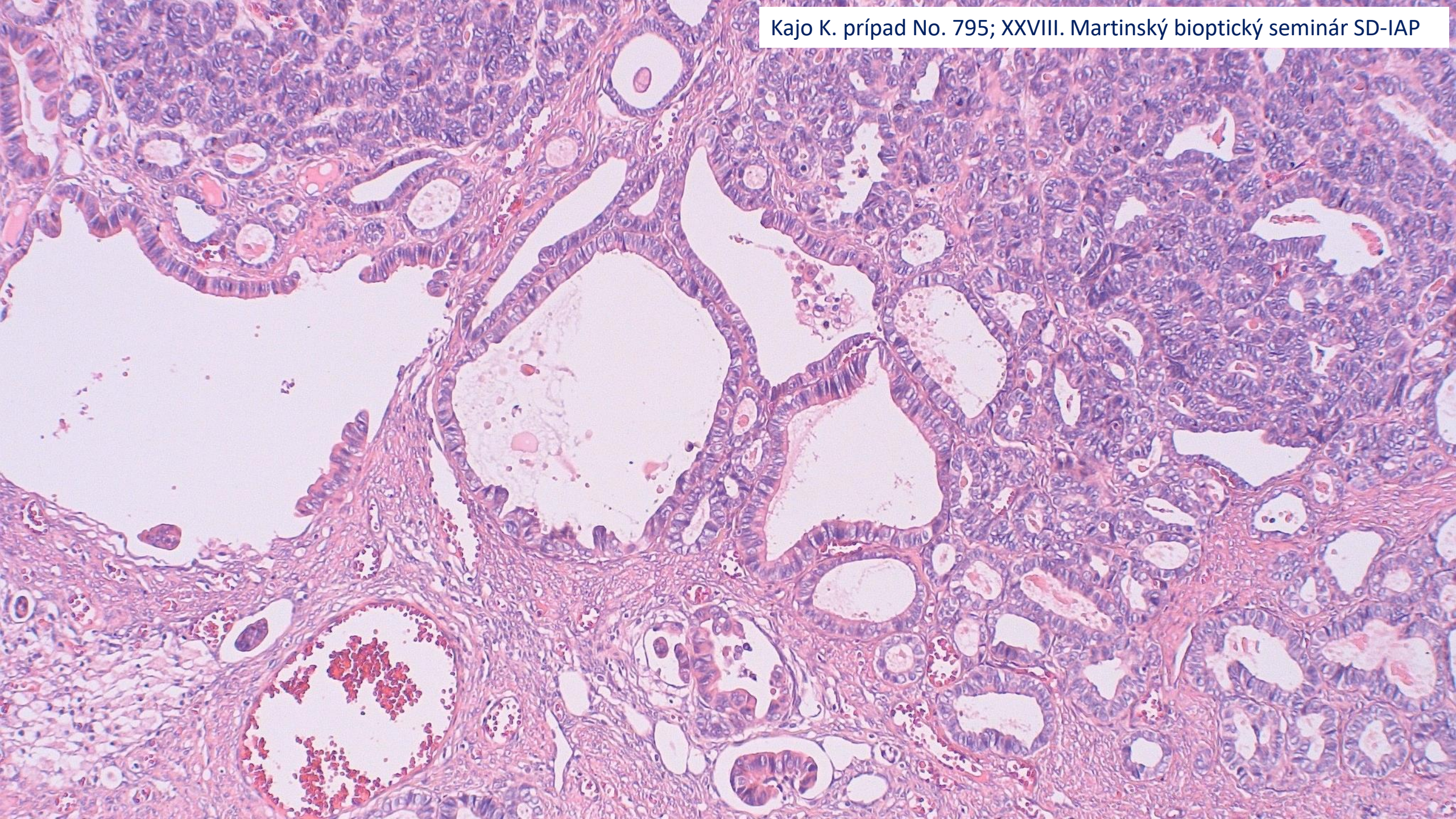
Makroskopický nález

- **pravé ovarium o priem. 14cm / hm. 1266g; solídne- cystického charakteru, šedo-belavej farby; bez propagácie na povrch ovaria**
- uterus (14x9x6cm / hm. 399g) s ľavými adnexami (tuba dĺžky 8cm / ovarium 3x2x1cm);
- **v myometriu uzly (priem. 3-6cm) bez nekróz**
- ľavé ovarium s cystickými zmenami

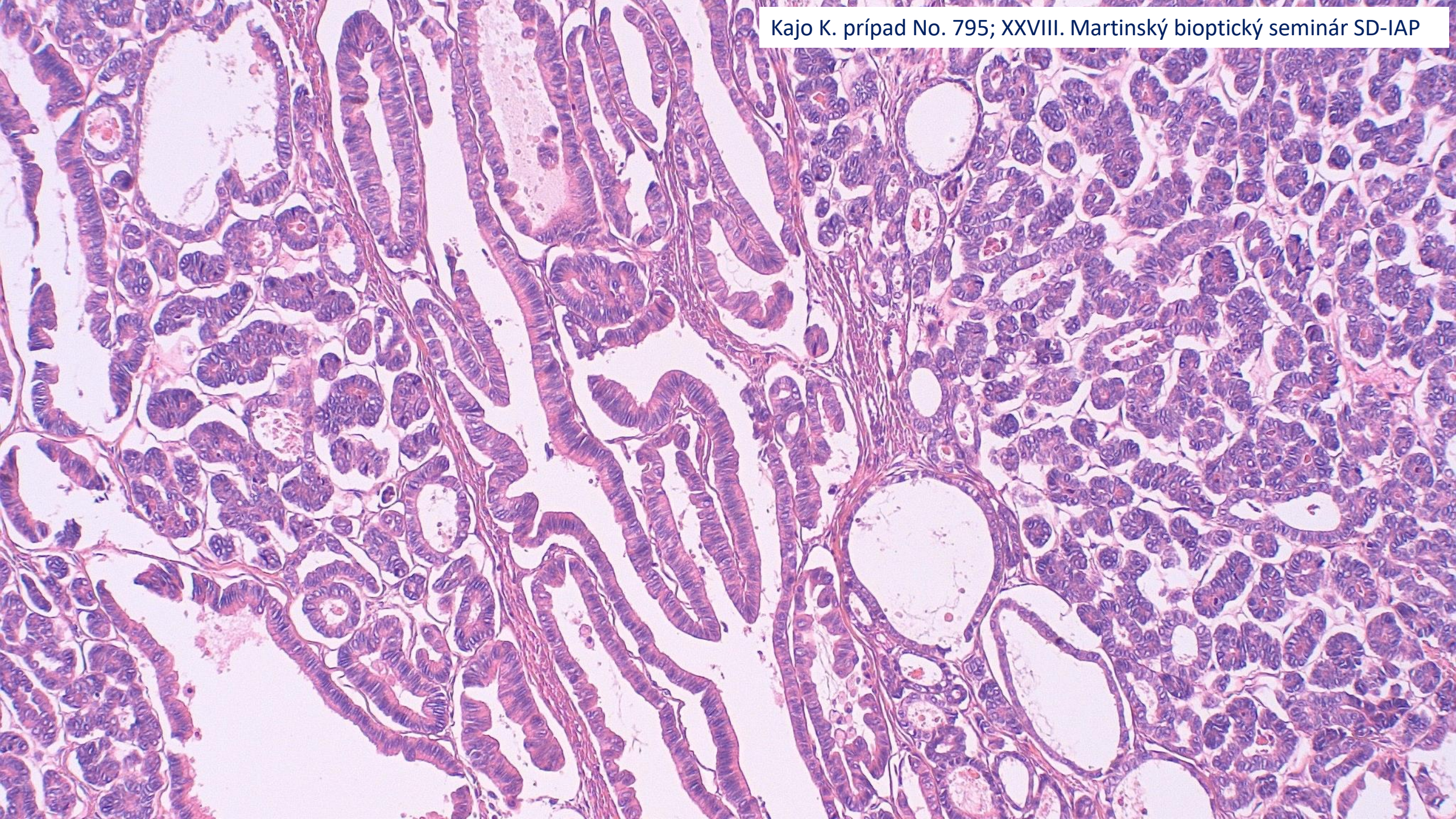
Mikroskopický obraz

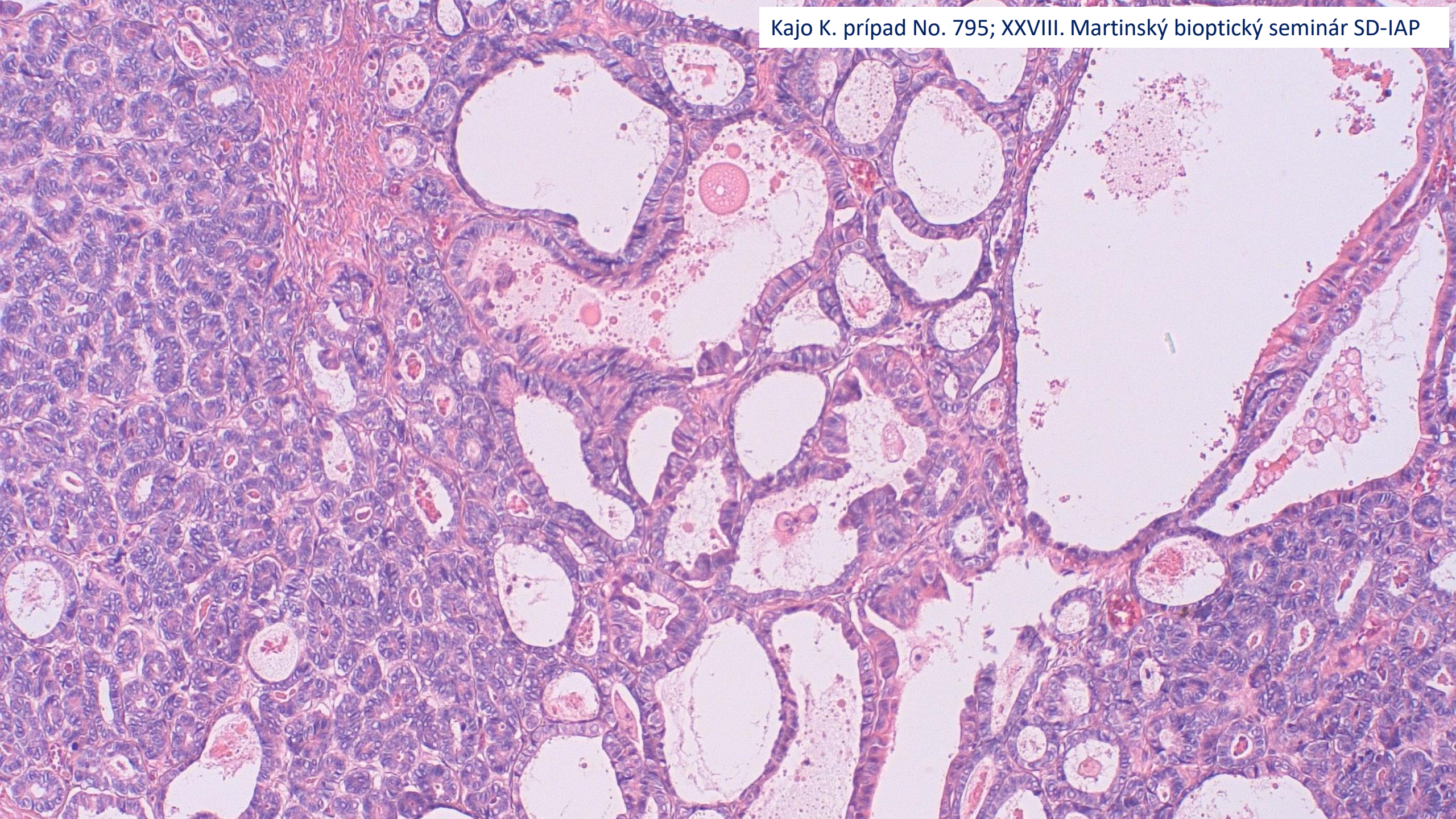


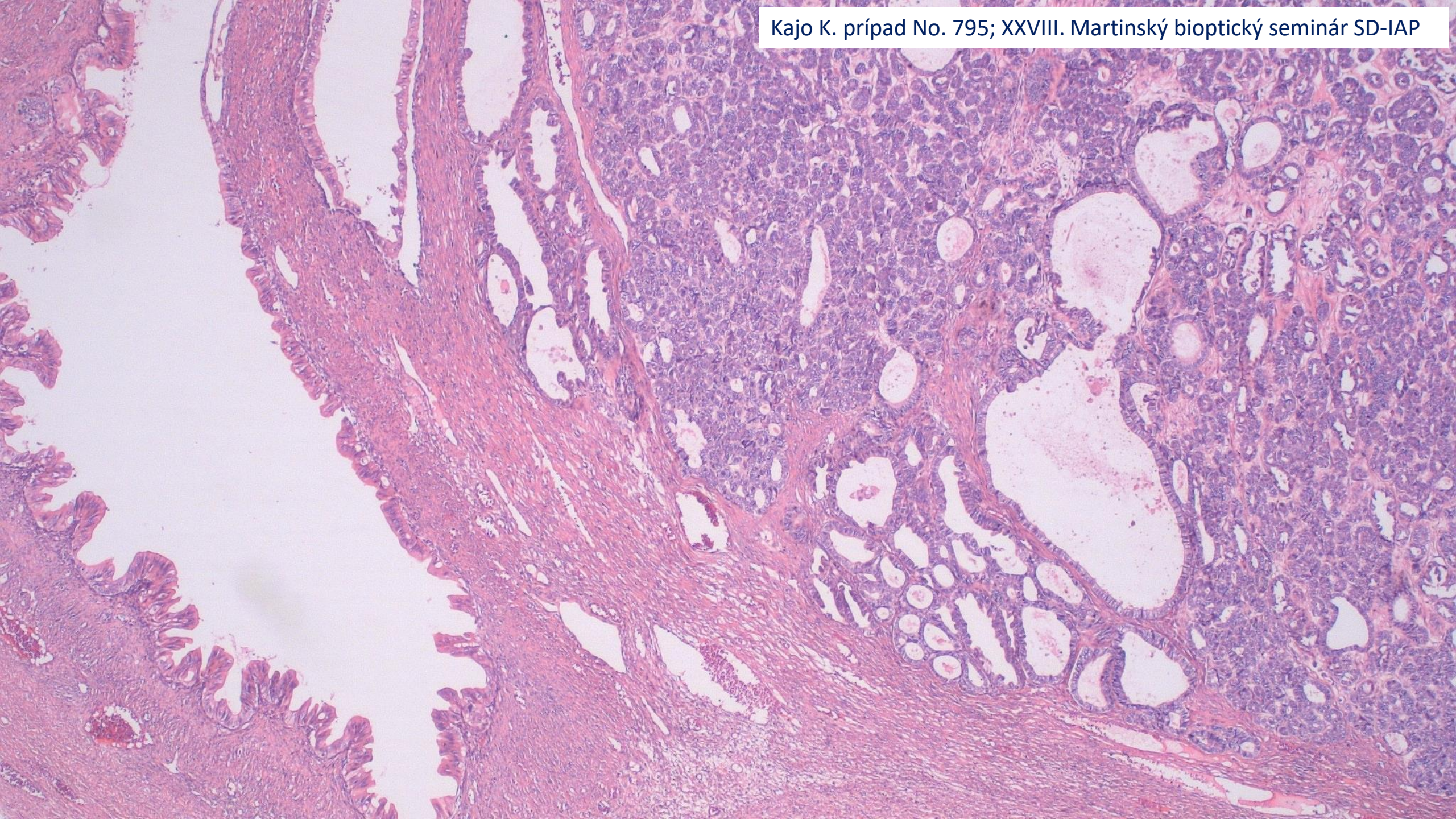


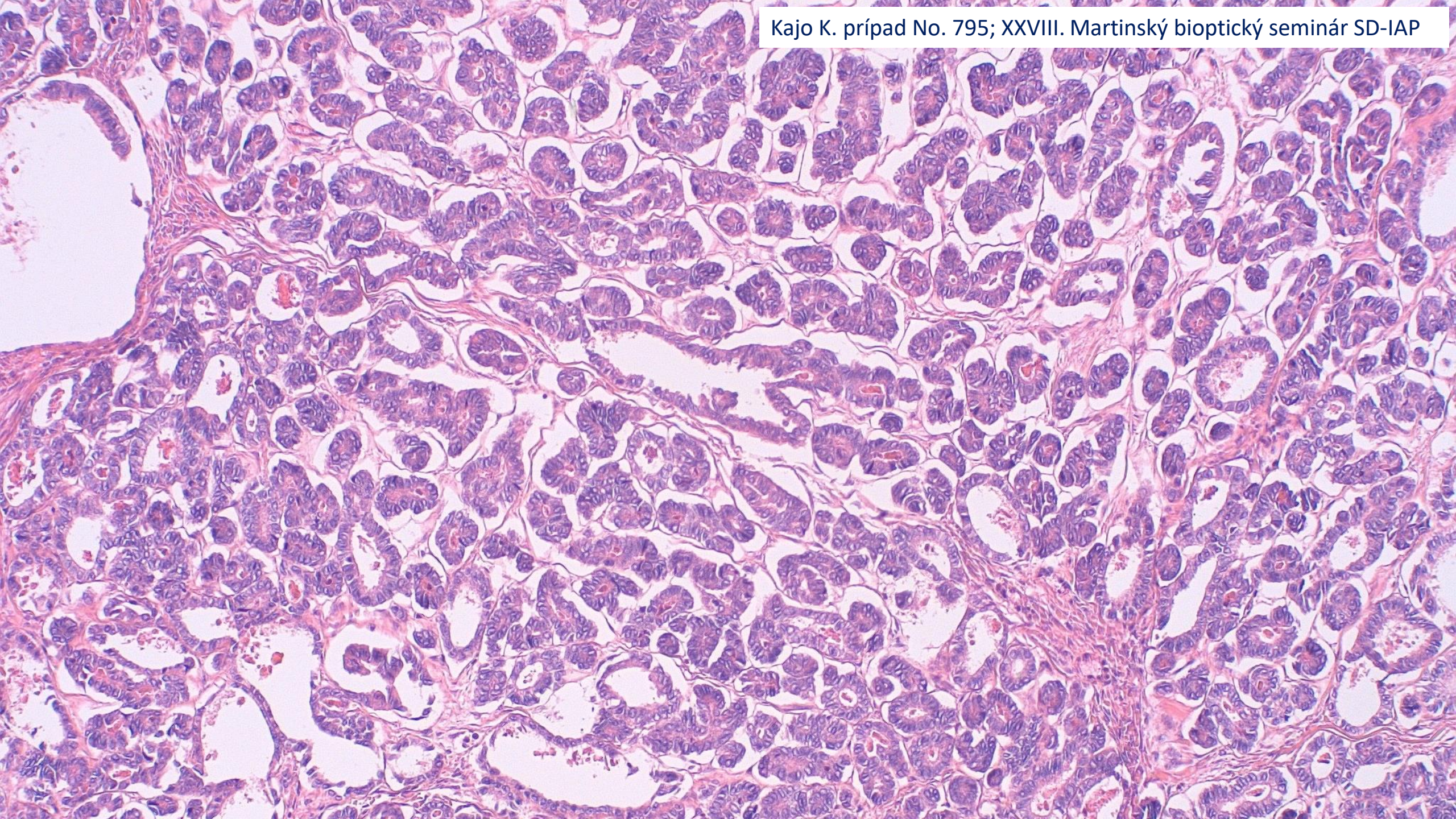


Kajo K. prípad No. 795; XXVIII. Martinský bioptický seminár SD-IAP

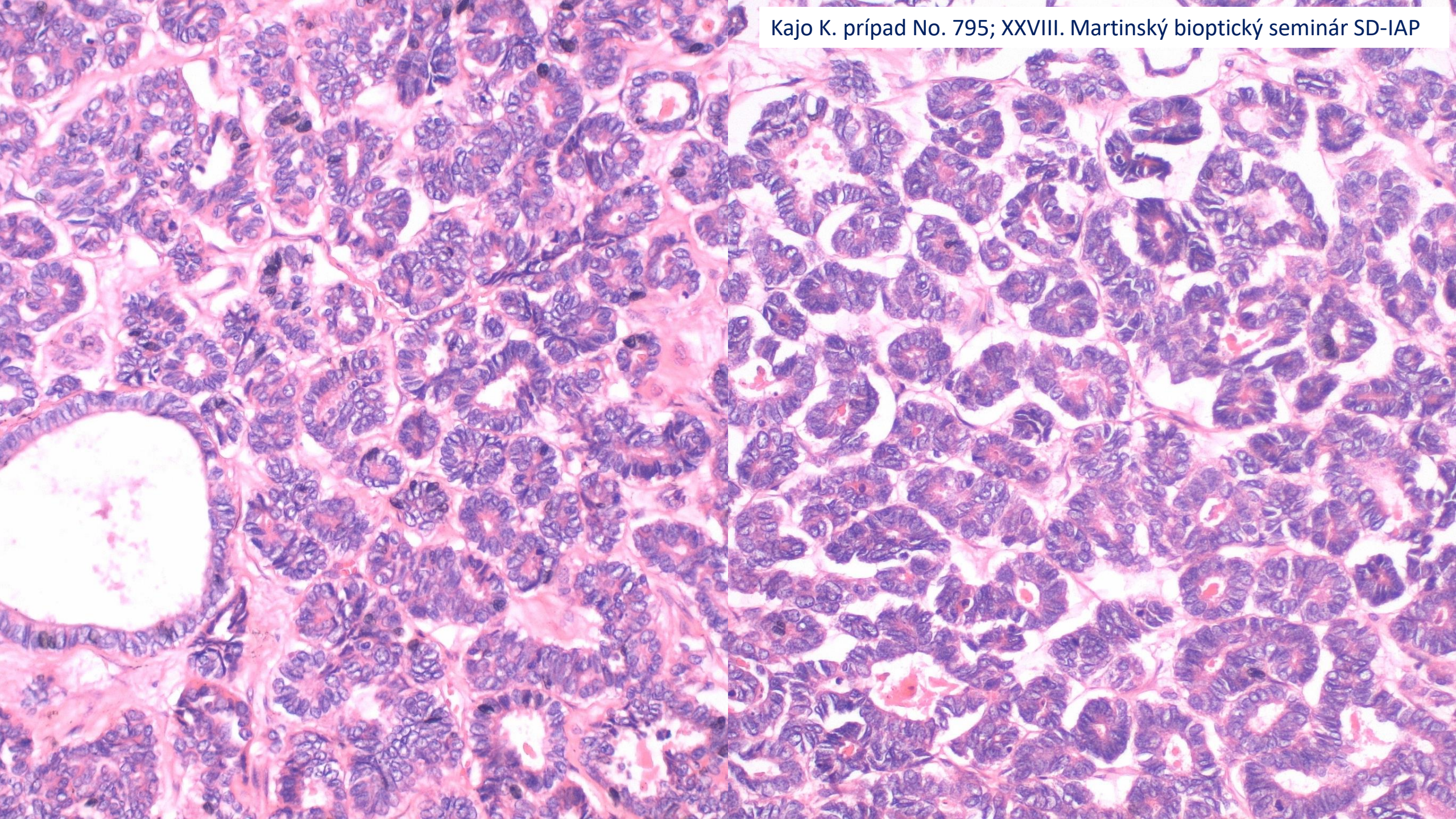


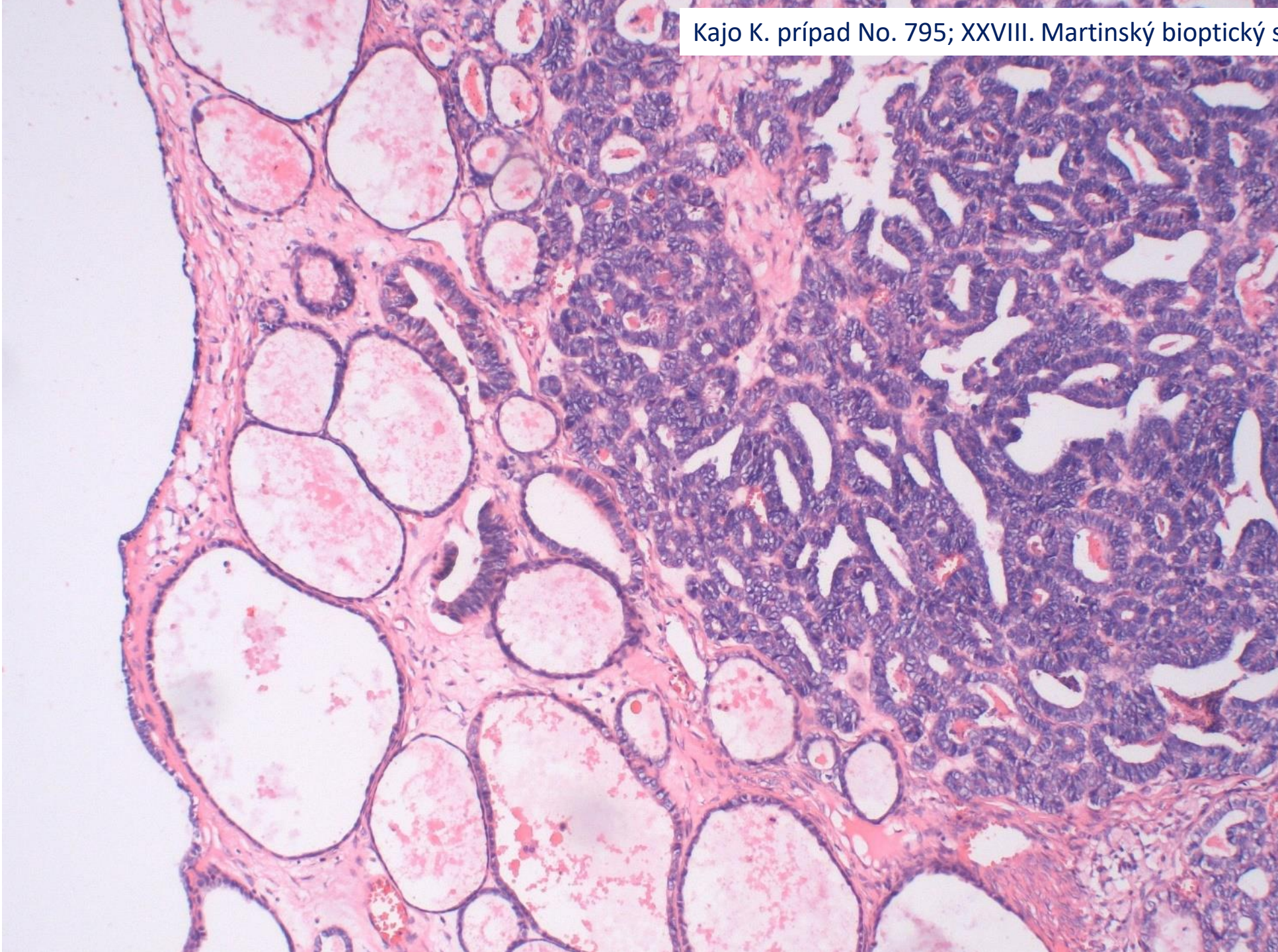




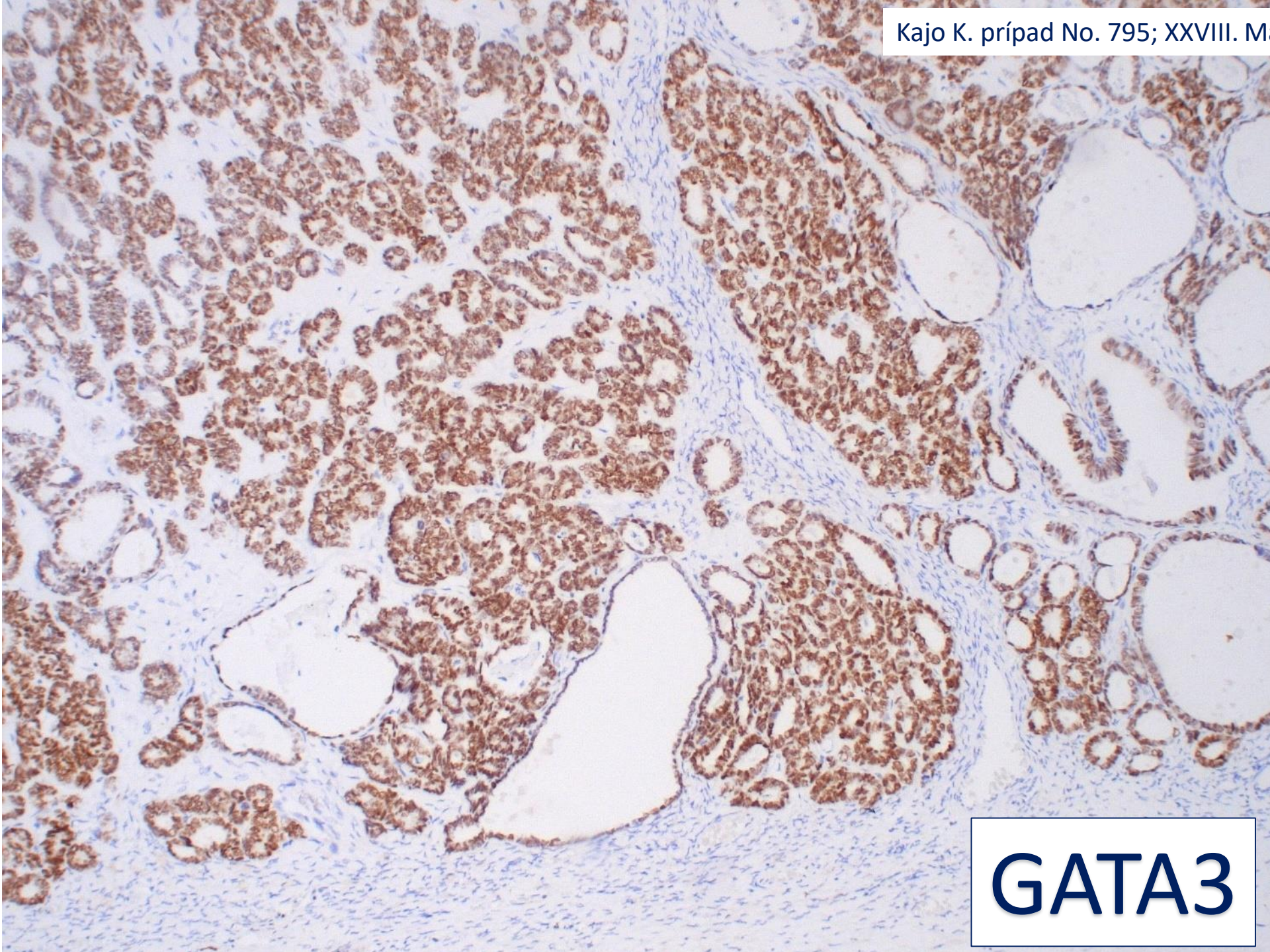


Kajo K. prípad No. 795; XXVIII. Martinský bioptický seminár SD-IAP



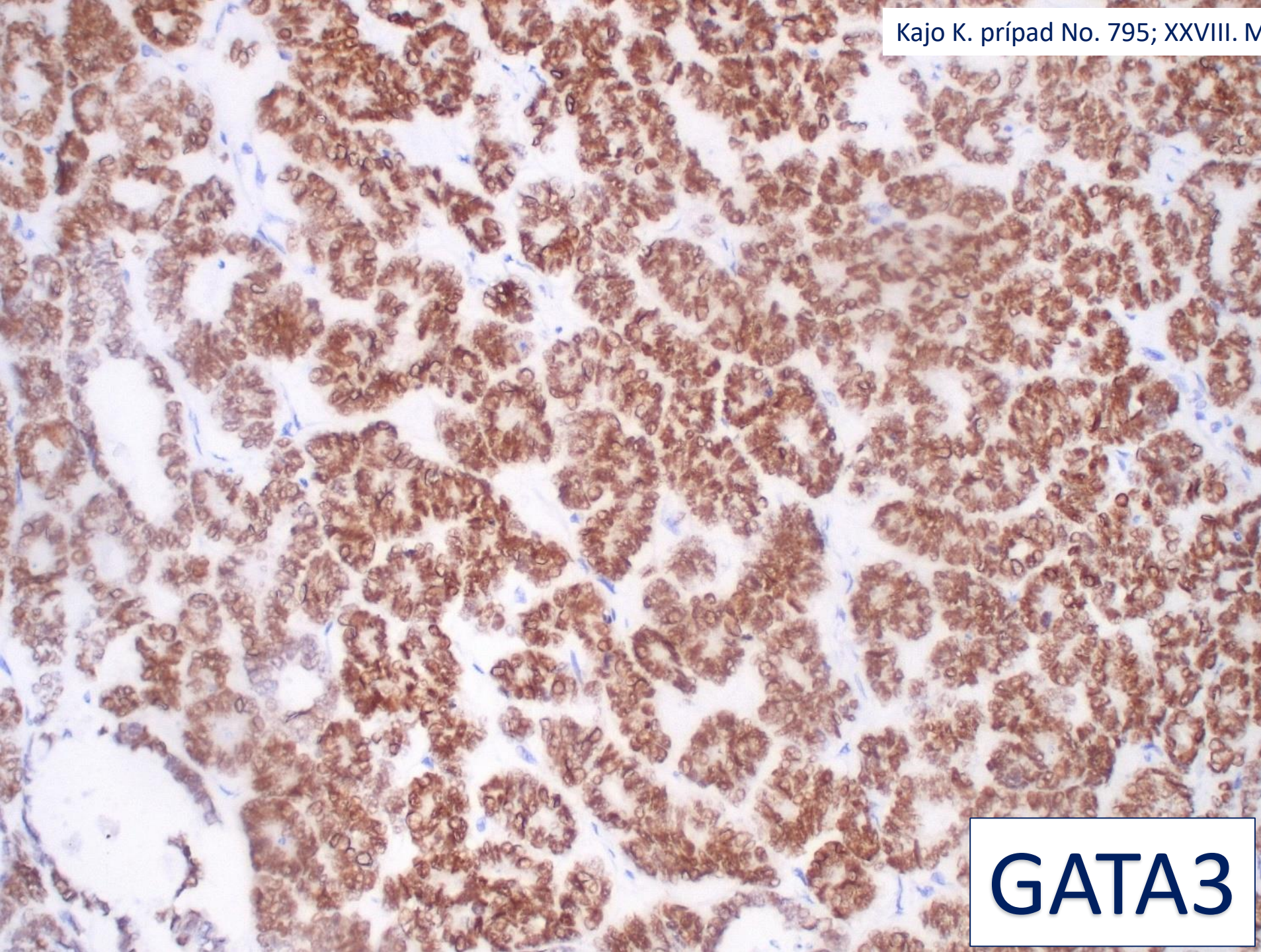






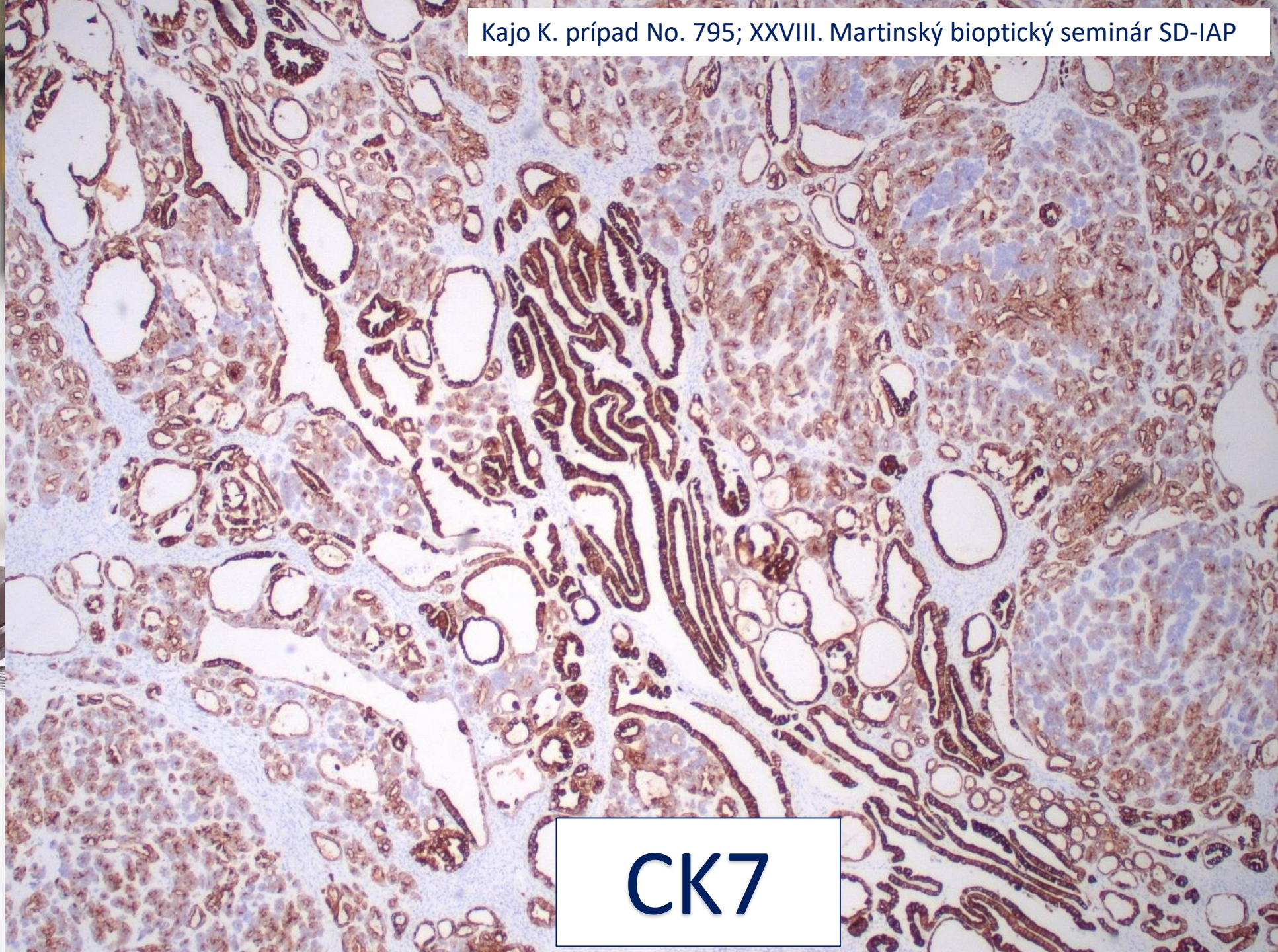
GATA3

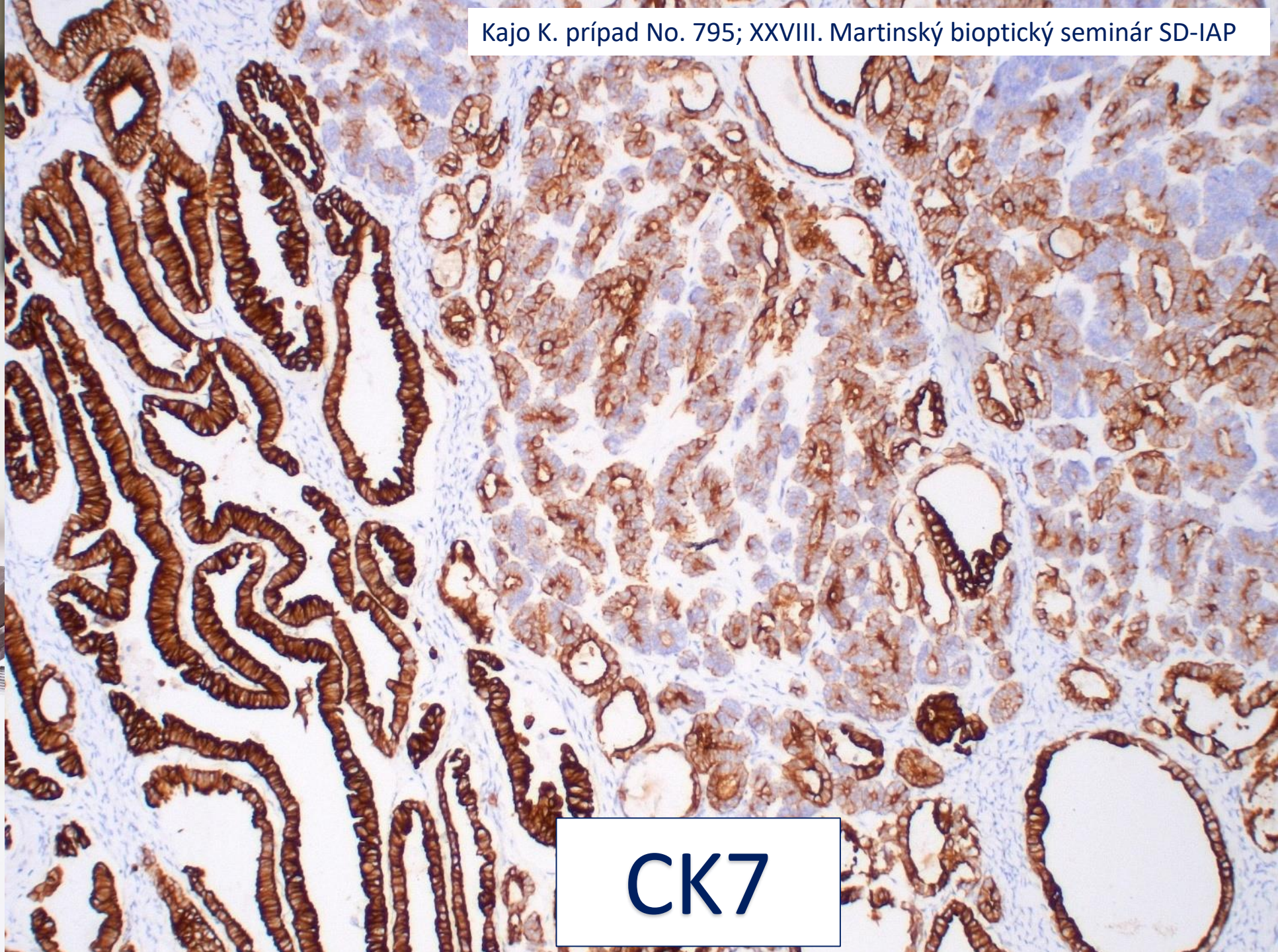




GATA3



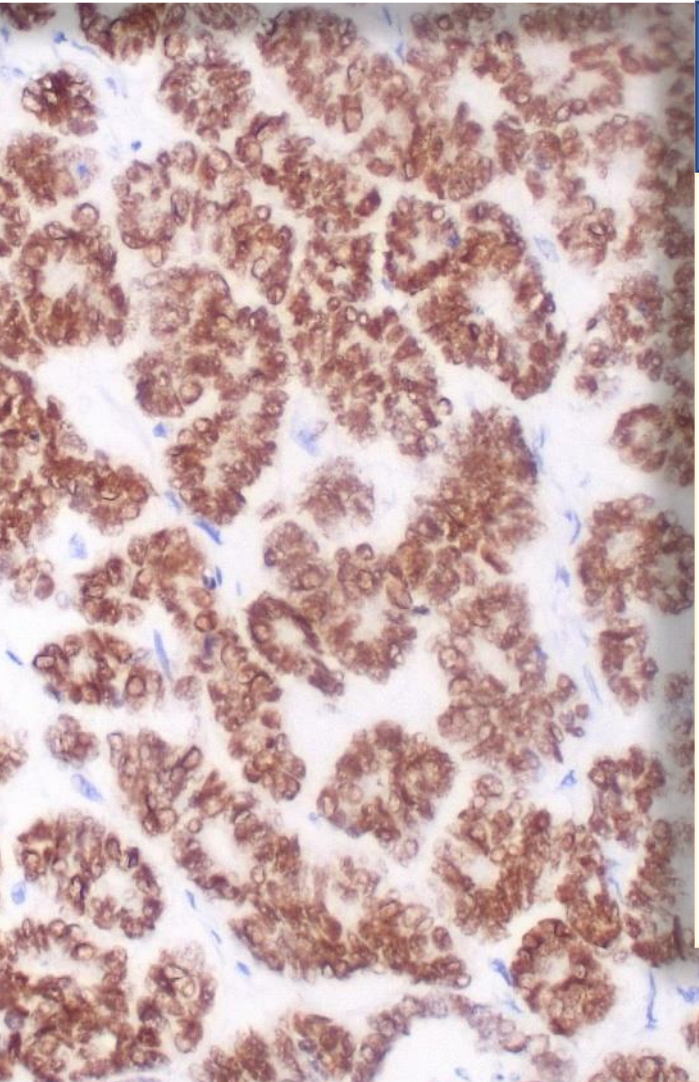




Imunohistochemický profil

pozitivita

- CK7
- PAX8
- GATA3



negativita

- CK20
- p53 (wt)
- WT1
- ER
- PR
- Napsin A
- TTF1
- CD10





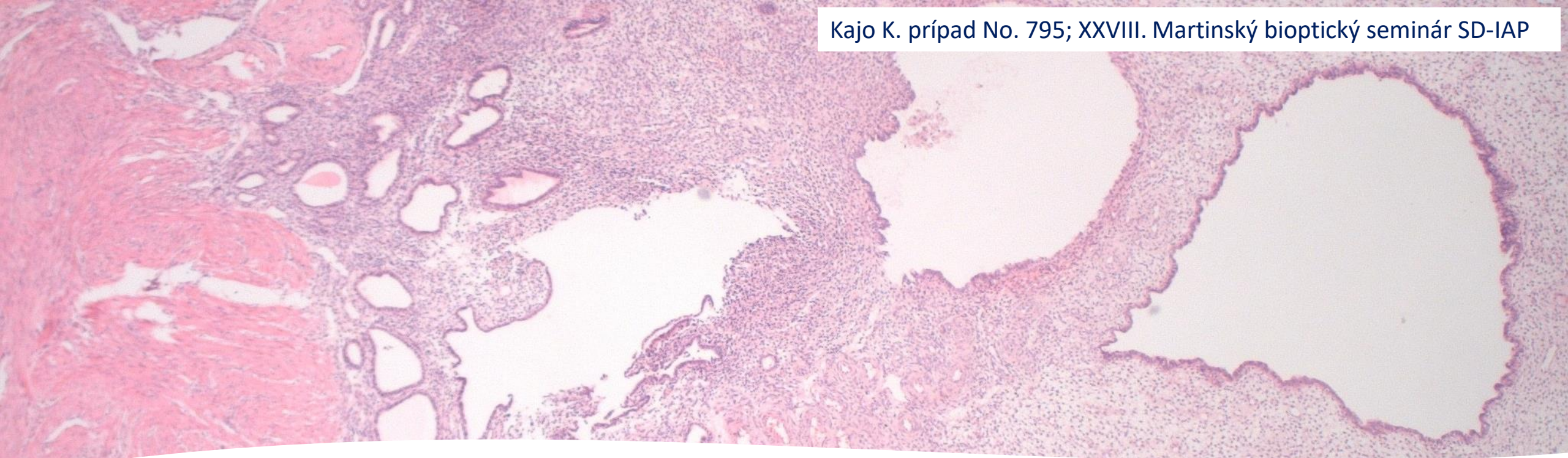
Molekulovo-genetické vyšetrenie*

- ***KRAS*: mutovaný (prítomný patogénny variant)****
 - ***NRAS*: wild-type**
 - ***BRAF*: wild-type**
-
- *metóda BIOCARTI-Idylla; vo vzorke DNA boli vyšetrené gény *KRAS* (kodóny 12, 13, 59, 61, 117 a 146), *NRAS* (kodóny 12, 13, 59, 61, 117 146) A *braf* (Kodón 600)
 - ** somatická mutácia (patogénny variant) c.35G>A (p.Gly12Asp)



„mesonephric-like“ adenokarcinóm FIGO štadium IA

- nová entita vo WHO klasifikácii nádorov ženského genitálu (2020)

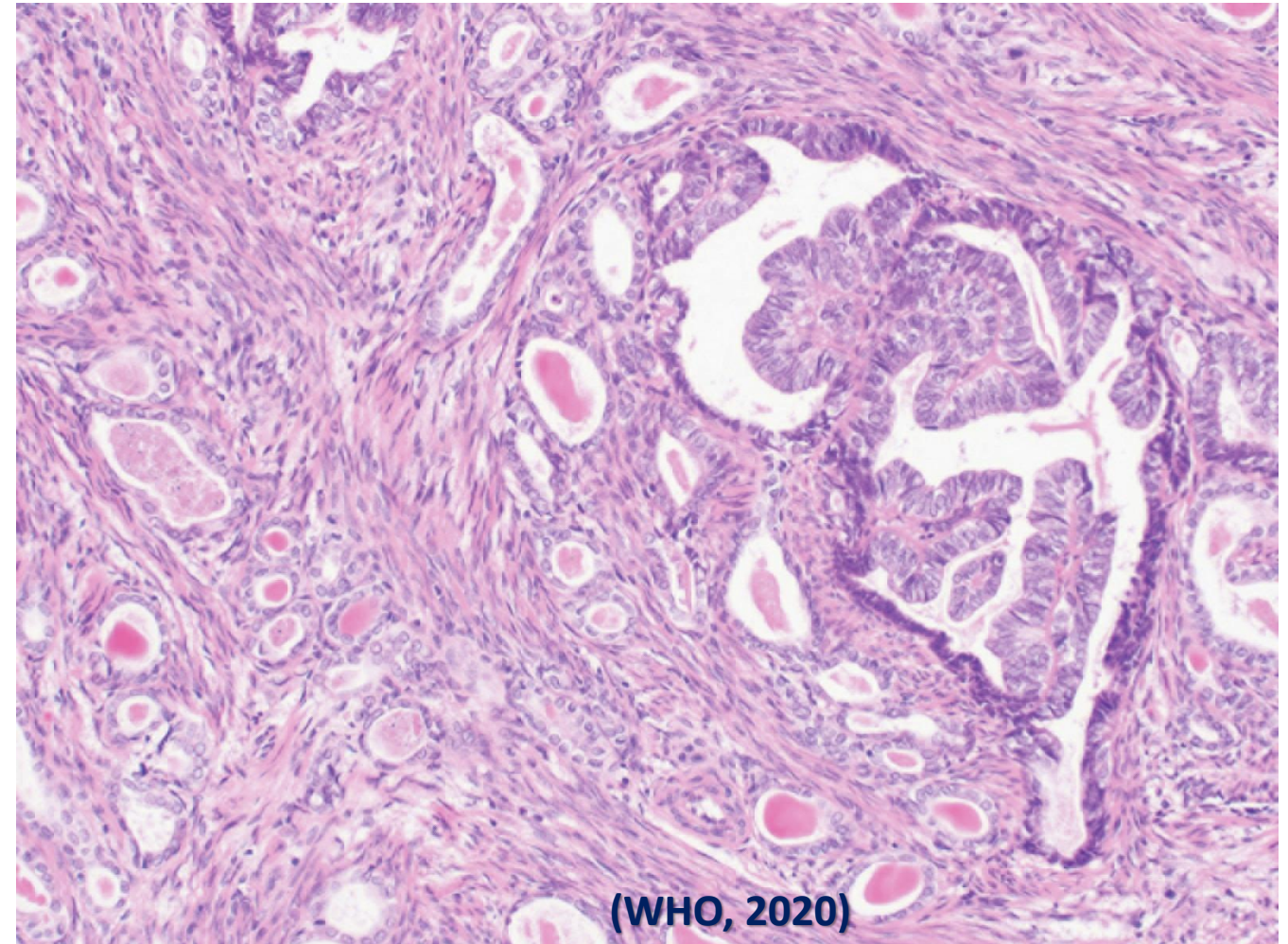


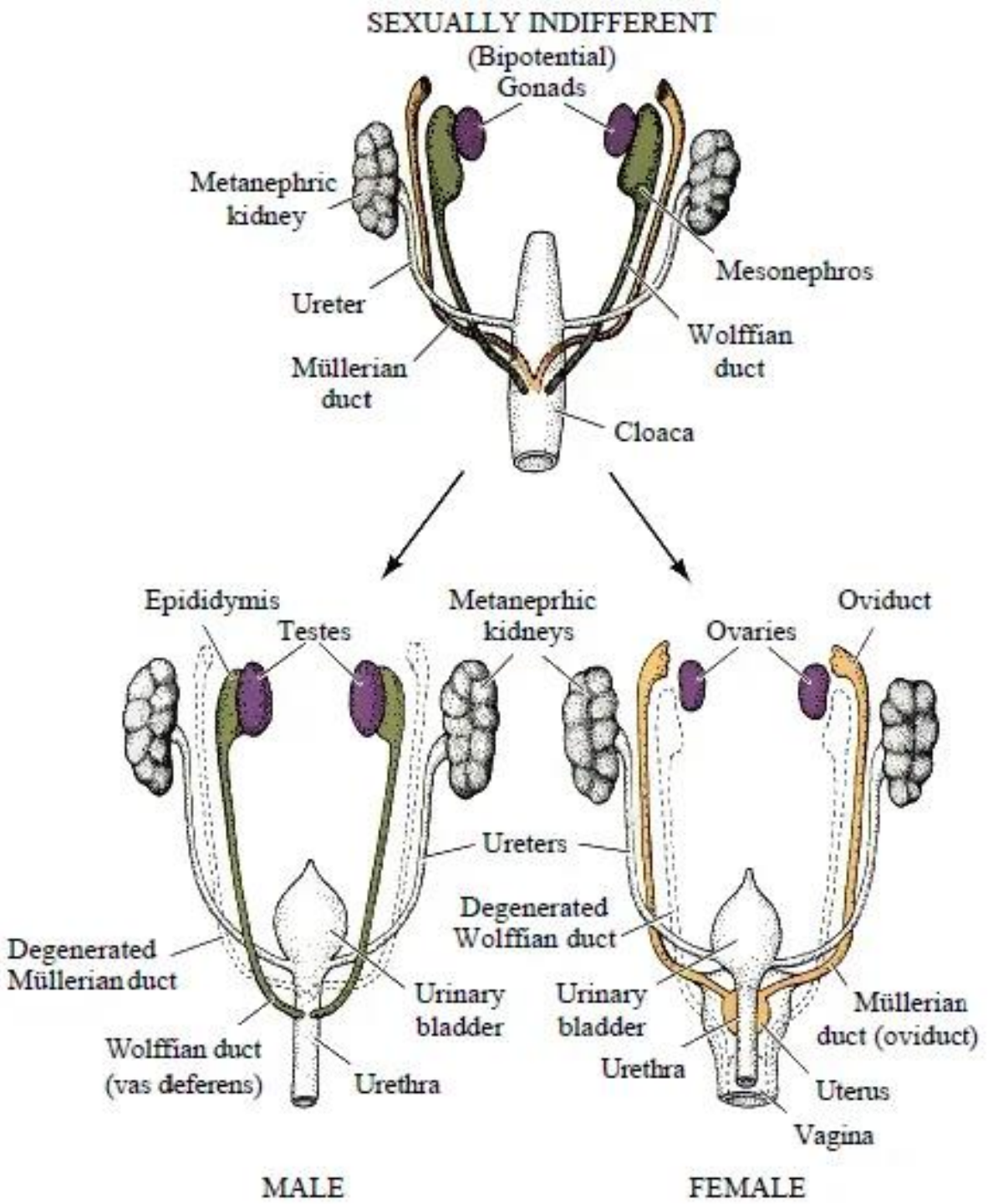
Ostatný nález

- **serózny cystadenóm ľavého ovaria asociovaný s endometriózou (aj s pseudodecidualizáciou strómy)**
- **endometriálny polyp**
- **leiomyómy maternice**
- **omentum bez známok nádorovej infiltrácie**
- **epidermálna inklúzna cysť vaginy**

Mezonefrický adenokarcinóm

- zriedkavá neoplazma ženského genitálu (<1% všetkých gynekol. malignít)
- z embryonálnych **zvyškov mezonefrických tubulov a duktov**
- **v cervixe a vagíne**



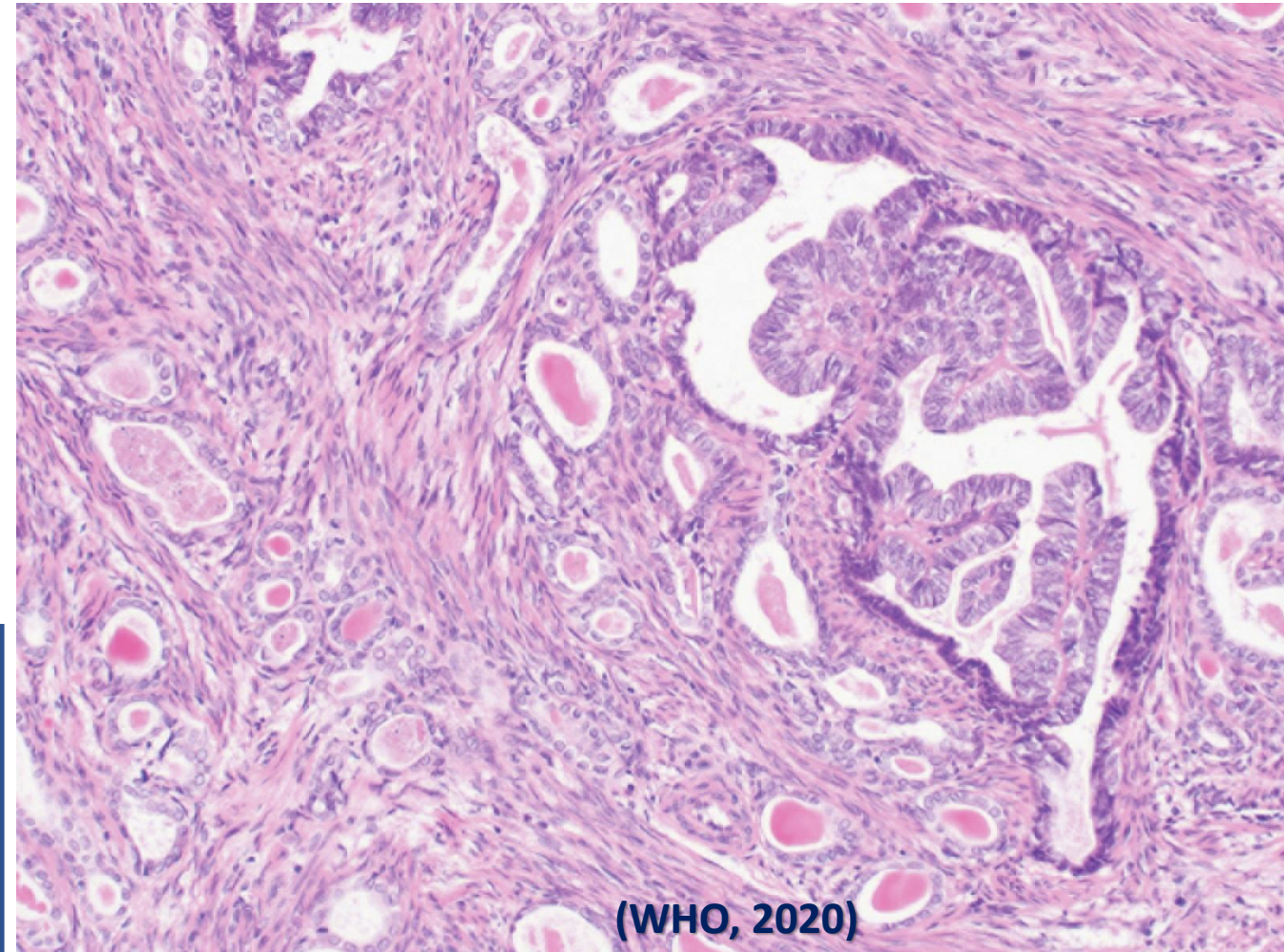


Mezonefrické tubuly a dukty

- **prekurzor mužského genitálu** v priebehu embryogenézy
- u mužov – **základ pre vnútorný genitál** (epididymis, vas deferens, seminálne vezikuly, eferentné vývody testis)
- u žien – regresia / zvyšky môžu perzistovať v širokom ligamente a later. stene cervixu a vagíny

Mezonefrický adenokarcinóm a „mesonephric-like“ adenokarcinóm - MLA

- zriedkavá neoplazma ženského genitálu (<1% všetkých gynekol. malignít)
- z embryonálnych **zvyškov mezonefrických tubulov a duktov**
- **v cervixe a vagíne**
- v hornom genitále (uterus a ovaria) – „mesonephric-like“ adenokarcinóm (MLA)



MLA – „Initial discovery“

McCluggage WG. Mesonephric-like Adenocarcinoma of the Female Genital Tract: From Morphologic Observations to a Well-characterized Carcinoma With Aggressive Clinical Behavior. Adv Anat Pathol. 2022 Jul 1;29(4):208-216.

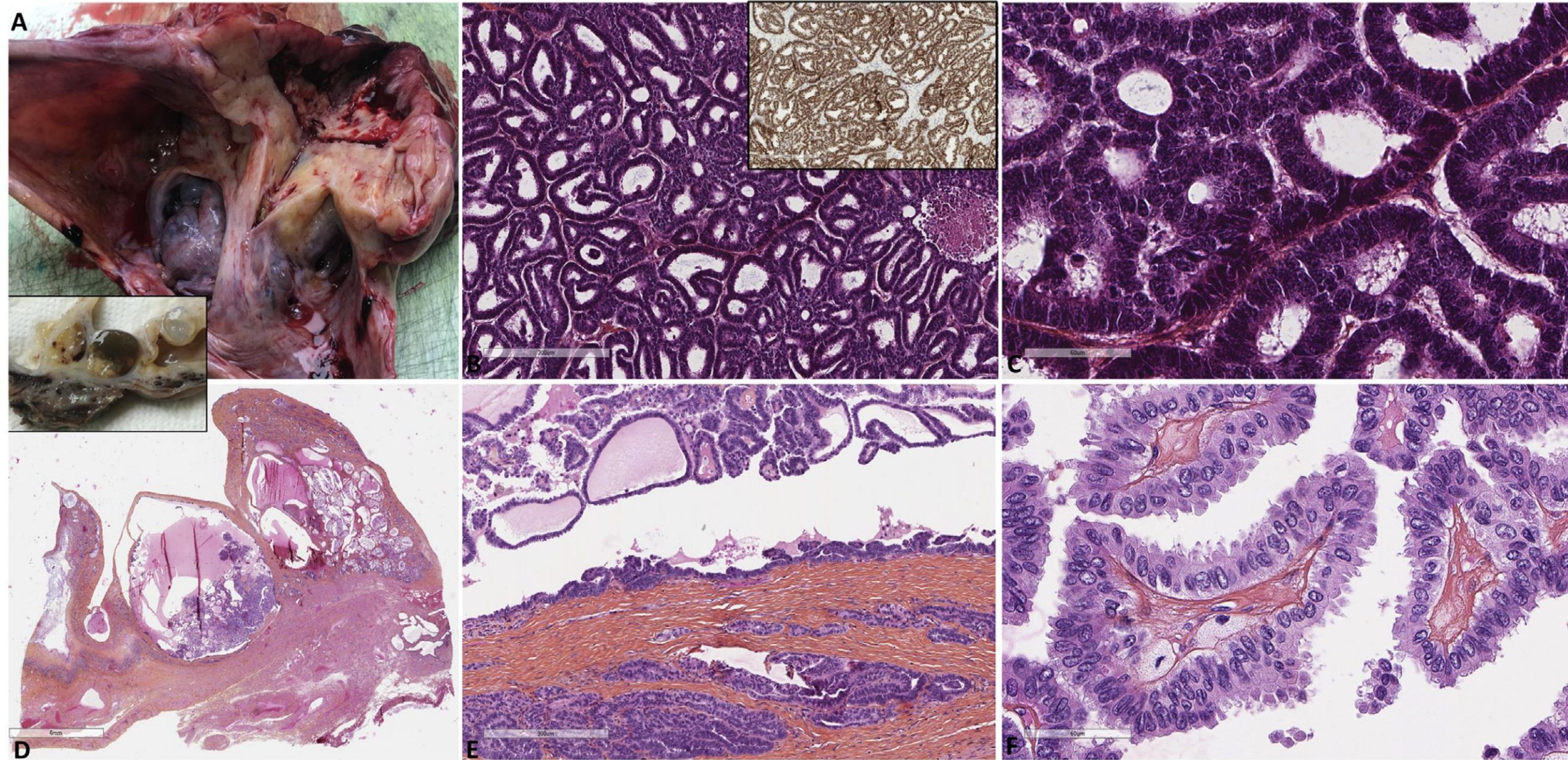
- 1.x opísaný v r. 2016 (*McFarland M, Quick CM, McCluggage WG. Hormone receptor-negative, thyroid transcription factor 1-positive uterine and ovarian adenocarcinomas: report of a series of mesonephric-like adenocarcinomas. Histopathology. 2016 Jun;68(7): 1013-20.*)
- 12 prípadov / 7 uterus + 5 ovarium
- **MLA – morfologicky ako mezonefrický AC (MAC), ale prítomné aj známky Mülleriánskej diferenciácie**
- predtým tieto nádory boli diagnostikované ako endometroidný Ca, a v ovariu dokonca aj ako malígna struma (jadrové črty + TTF1+)
- uterínne MLA metastázovali do plúc a MTS (TTF1+) boli považované za sek. primárny Ca plúc
- až korelácia uterínnych Ca (TTF1+) s plúcnymi Ca (TTF1+) poukázala na možný súvis a na agresívny charakter uterínnych MLA

MLA – základné morfologické charakteristiky

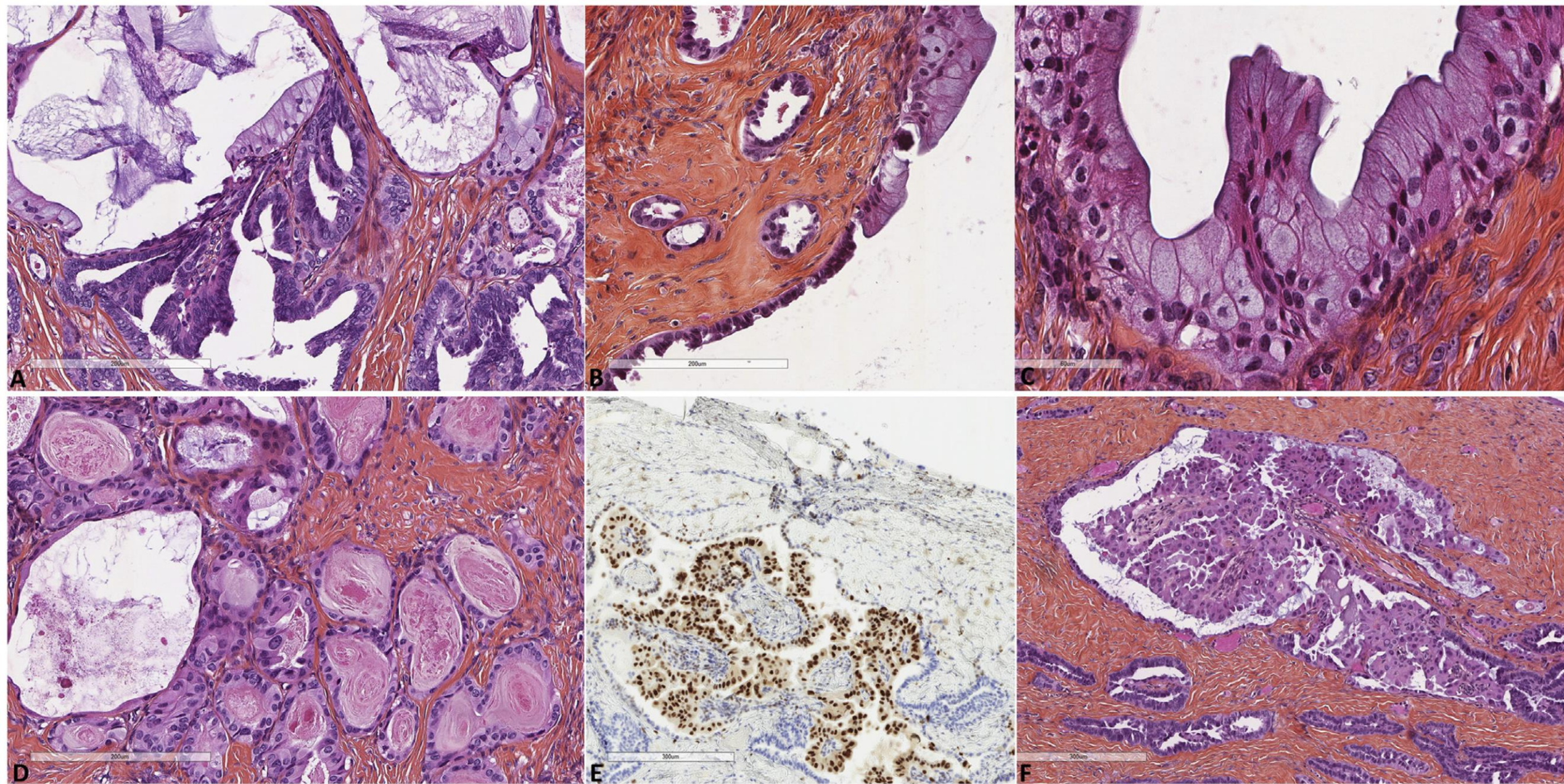
McCluggage WG. Mesonephric-like Adenocarcinoma of the Female Genital Tract: From Morphologic Observations to a Well-characterized Carcinoma With Aggressive Clinical Behavior. *Adv Anat Pathol.* 2022 Jul 1;29(4):208-216.

Koh HH, Park E, Kim HS. Mesonephric-like Adenocarcinoma of the Ovary: Clinicopathological and Molecular Characteristics. *Diagnostics (Basel)*. 2022 Jan 27;12(2):326.

- **MAKRO:** solídne-cystické masy (4-32cm), šedo-belavej /žlto-hnedej farby
- **MIKRO:** tubularne, pseudoendometroidné, papilárne, kribriformné, štrbinovité, retiformné, glomeruloidné, solídne
- eozinofilný „*colloid-like*“ obsah (ŠŽ alebo „*tunnel clusters*“)
- kuboidálne a kolumnárne bunky s ľahkým a stredným st. atypie, svetlé vezikulárne jadrá, „*grooves*“, „*hobnail*“, nie skvam., cílioované a mucinózne bb.???
- mitózy – variabilný počet
- regresívne zmeny - nekrózy
- nález vretenovitých bb by nemal byť interpretovaný ako MLCaSa - **MLCaSa až keď je prítomnosť heterológnej diferenciácie**



Karpathiou G, et al. Ovarian mesonephric-like adenocarcinoma: morphological diversity and histogenetic considerations of an unusual tumour. Pathology. 2022 Aug;54(5):647-650.



MLA – má význam hodnotiť grading?

McCluggage WG. Mesonephric-like Adenocarcinoma of the Female Genital Tract: From Morphologic Observations to a Well-characterized Carcinoma With Aggressive Clinical Behavior. *Adv Anat Pathol.* 2022 Jul 1;29(4):208-216.

- neodporúča sa hodnotiť grading
- pri FIGO systéme by absolútna väčšina bola G1/2 a vzhľadom na agresívne správanie by stupeň diferenciácie neposkytoval progn.informáciu
- **všetky MLA sú „automaticky“ high-grade**



MLA – asociácie s inými léziami

McCluggage WG. Mesonephric-like Adenocarcinoma of the Female Genital Tract: From Morphologic Observations to a Well-characterized Carcinoma With Aggressive Clinical Behavior. *Adv Anat Pathol.* 2022 Jul 1;29(4):208-216.



Ovariálny MLA +:

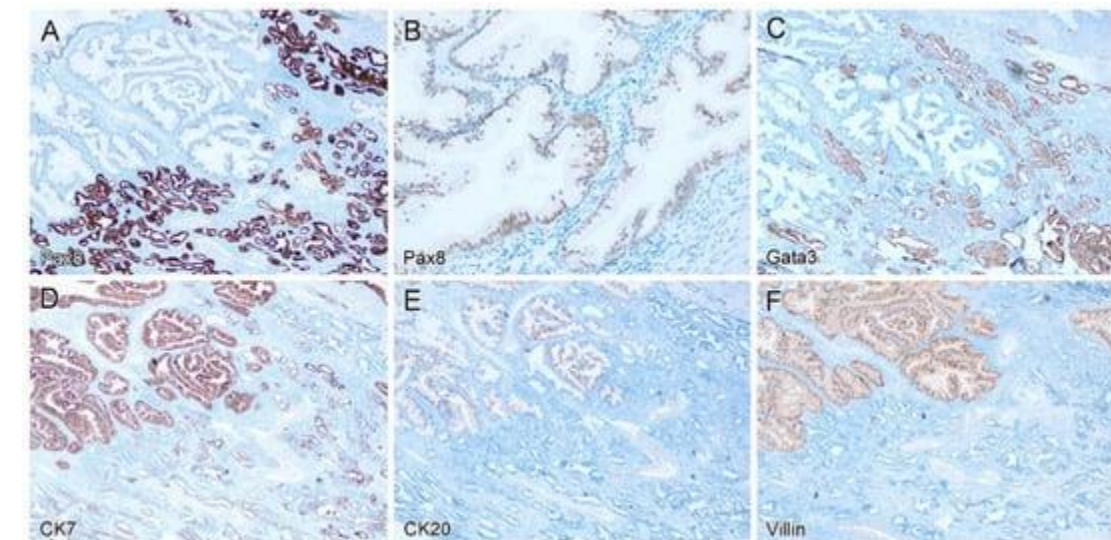
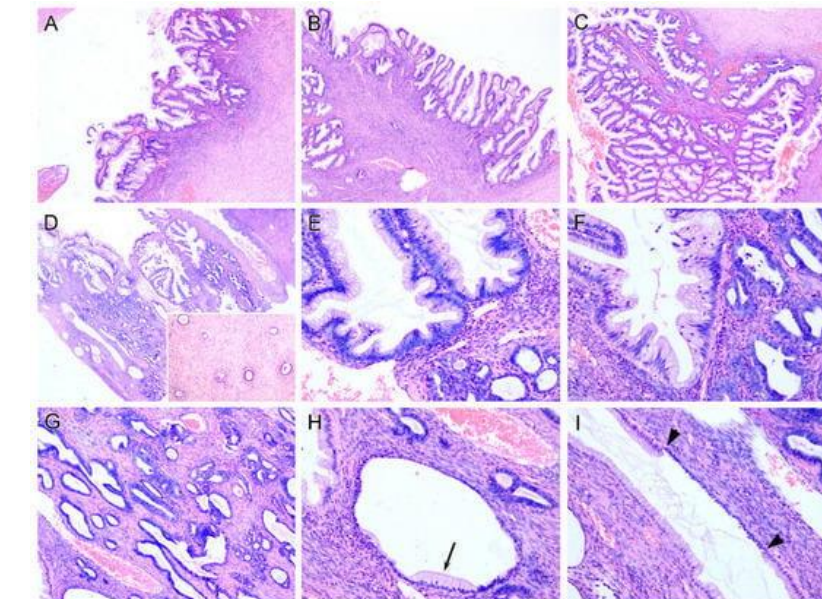
- endometrióza (aj atypická)
- CCC
- LG-SEC/ SBT (môžu byť identické mutácie - *KRAS*, *NRAS*, *PIK3CA*)
- adenofibrómy/cystadenómy
- germ cell tumor / zrelý teratóm

„The serous borderline tumor seems to be a precursor of mesonephric-like adenocarcinoma, which has been proven in our case by both tumors sharing the same mutations, and the presence of cumulative molecular aberrations in the mesonephric-like adenocarcinoma“

Dundr P, et al. Ovarian mesonephric-like adenocarcinoma arising in serous borderline tumor: a case report with complex morphological and molecular analysis. *Diagn Pathol.* 2020;15(1):91.

MLA – asociácie s inými léziami

- *Nilforoushan N, et al. Mucinous Tumor Coexisting With Mesonephric-like Proliferation/Tumor in the Ovary: A Novel Association. Am J Surg Pathol. 2022 Aug 1;46(8):1095-1105.*
- *Zhang J, et al. Mucinous Borderline Tumor Associated with Mesonephric-like Proliferation: Further Evidence for a Possible New Origin of Ovarian Mucinous Neoplasms. Diagnostics (Basel). 2022 Aug 5;12(8):1901.*



MLA - histogenéza

	Črty spoločné s Mülleriánskymi Ca	Črty spoločné s pravými MAC
Patológia	distribúcia v tele uteru (predovšetkým „endometrial-based“)	Podobná morfológia, chýbanie skvamóznej, ciliárnej a mucinóznej diferenciácie, bez prilahlej EH
IHC	ER fokálna pozitivita	ER/PR-; TTF1+, GATA3+, CD10+
Ďalšie nálezy	endometrióza, ovariálne Mulleriánske lézie, chýbanie mezonefrických zbytkov	
Molek. nálezy	mutácie PIK3CA, PTEN, ARID1A	mutácie KRAS a NRAS

- 
- pravdepodobne ide o **Mülleriansky pôvod s aberantnými črtami mezonefrickej transdiferenciácie** (asociácie s endometriózou, inými ovariálnymi léziami, vyrastanie z endometria...)
 - „...eflect the **multipotential differentiation capacity of Müllerian structures**“ (*Dundr et al, 2020*)
 - „**MLAs are derived from a Müllerian substrate with differentiation along Wolffian/mesonephric lines**“ (*da Silva et al, 2021*)

MLA - histogenéza

	Črty spoločné s Mülleriánskymi Ca	Črty spoločné s pravými MAC
Patológia	distribúcia v tele uteru (predovšetkým „endometrial-based“)	Podobná morfológia, chýbanie skvamóznej, ciliárnej a mucinóznej diferenciácie, bez prilahlej EH
IHC	ER fokálna pozitivita	ER/PR-; TTF1+, GATA3+, CD10+
Ďalšie nálezy	endometrióza, ovariálne Mulleriánske lézie, chýbanie mezonefrických zbytkov	
Molek. nálezy	mutácie PIK3CA, PTEN, ARID1A	mutácie KRAS a NRAS

Pre Mullerinský pôvod svedčí v našom prípade aj ↑ hladina tumor markerov

	13.9	ng/ml	zvýšený	<4.0
CEA - Karcinoembryonálny antigén	>20020.0	IU/ml	zvýšený	<35.0
CA 19-9 - Uhlohydrátový antigén 19-9	3309.0	IU/ml	zvýšený	<35.0
CA 125 - Nádorový antigén 125	26	IU/l	v norme	<80
TPS - Tkanivový polypeptid. špecifický	8.4	ng/ml	v norme	<12.5
NSE - Neurónšpecifická enoláza	150.7	pmol/l		
HE4 - Ľudský epididymálny protein 4	60.9	%	vysoké	<13.1
ROMA - premenopauzálny	95.5	%	vysoké	<27.7
ROMA - postmenopauzálny				

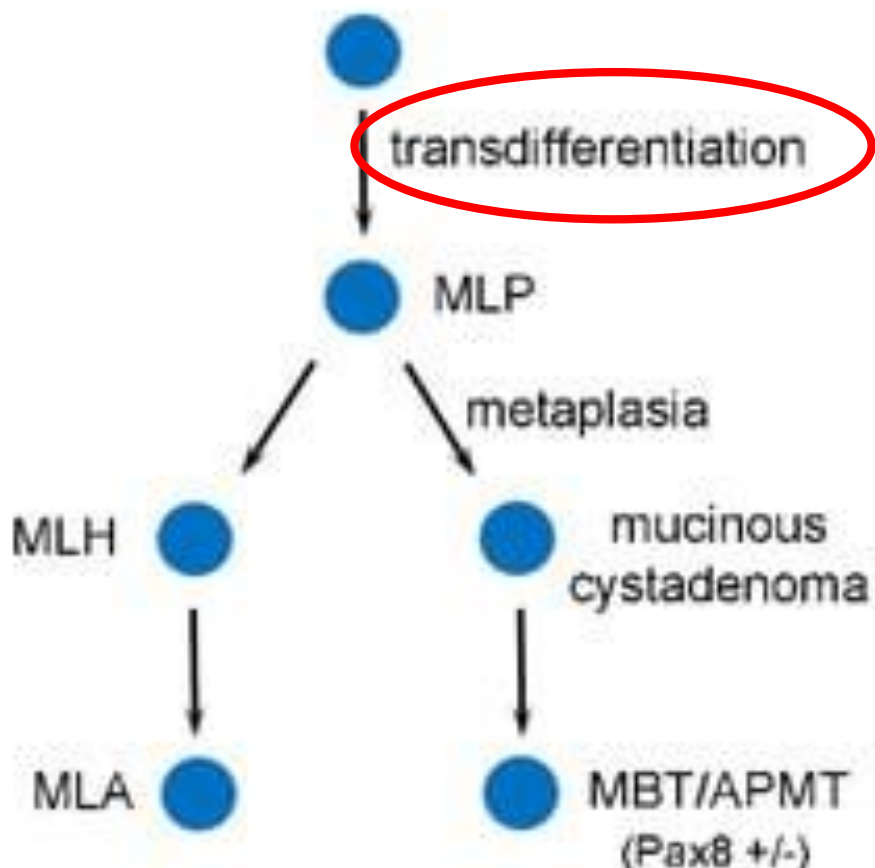


Histopatogenetické modely pre zmiešané mezonefrické a mucinózne tumory v ovariu

(A) model Mullerianskeho/mesonephric-like origa (B) model Wolffiánskeho/ mezonefrického origa

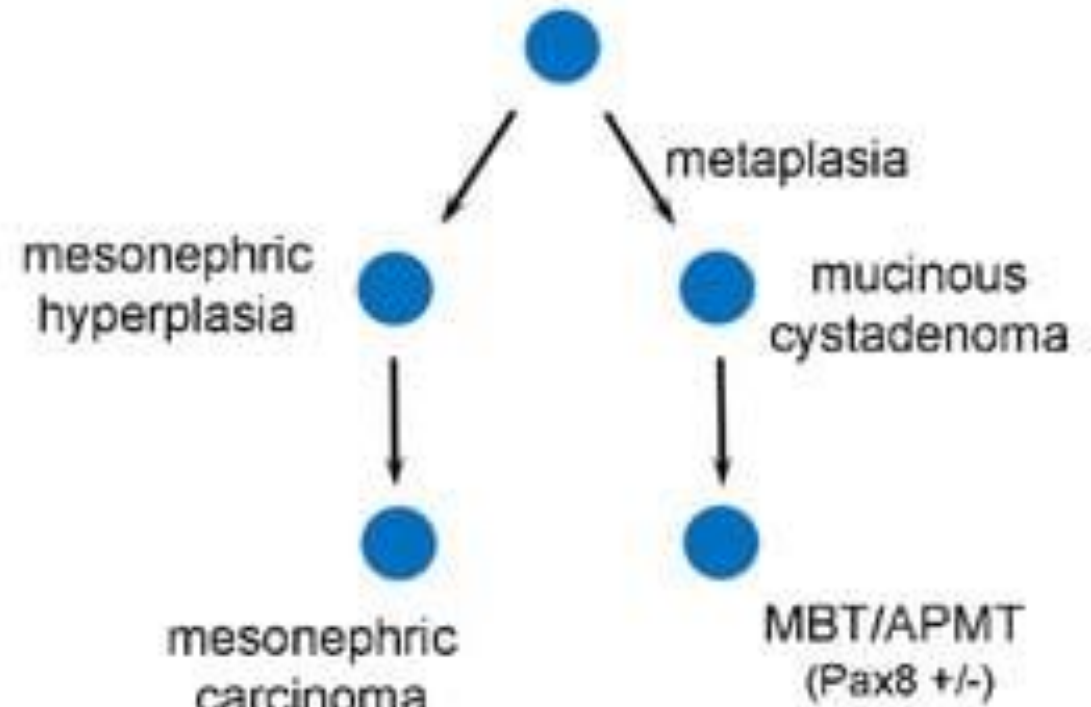
A

Mullerian-type progenitor cells
(serous or endometriosis)



B

Mesonephric remnants



Zhang J, et al. Mucinous Borderline Tumor Associated with Mesonephric-like Proliferation: Further Evidence for a Possible New Origin of Ovarian Mucinous Neoplasms. *Diagnostics (Basel)*. 2022; 12(8):1901.

MLA - Imunohistochemické charakteristiky

Koh HH, Park E, Kim HS. Mesonephric-like Adenocarcinoma of the Ovary: Clinicopathological and Molecular Characteristics. *Diagnostics (Basel)*. 2022 Jan 27;12(2):326.

McCluggage WG. Mesonephric-like Adenocarcinoma of the Female Genital Tract: From Morphologic Observations to a Well-characterized Carcinoma With Aggressive Clinical Behavior. *Adv Anat Pathol*. 2022 Jul 1;29(4):208-216.

- **GATA3** (27/29; 93,1%); senz.94%/špecif.94%
 - **TTF1** (26/30; 86,7%); senz. 45%/špecif.99% ; častejšia + ako v MAC
 - **p53 wt** (19/19)
 - **WT1** (0/25)
 - **ER** (2/31; 6,5%) – v MAC vždy ER-
 - **PR** (0/25)
 - **CD10**: apikálna expresia
 - kalretinín: negat./ fokál.
 - **p16**: fok.
 - **MMR**: zachovaná intaktná expresia
- základný panel: **GATA3, PAX8, TTF1, CD10, ER, WT1**

TTF1 a / alebo GATA3

MLA - Molekulovo-genetické charakteristiky

Koh HH, Park E, Kim HS. Mesonephric-like Adenocarcinoma of the Ovary: Clinicopathological and Molecular Characteristics. *Diagnostics (Basel)*. 2022 Jan 27;12(2):326.

- mutácie **KRAS** (23/28; 82,1%): p.G12D (10/23), p.G12V (10/23), p.G12A (2/23) a p.G12C (1/23)
- mutácie KRAS → aktivácia MAPK signálnej dráhy (Th – inhibítory MAPK sign. dráhy)

v našom prípade:

**somatická mutácia (patogénny variant)
c.35G>A (p.Gly12Asp)**



MLA - Molekulovo-genetické charakteristiky

Koh HH, Park E, Kim HS. Mesonephric-like Adenocarcinoma of the Ovary: Clinicopathological and Molecular Characteristics. *Diagnostics (Basel)*. 2022 Jan 27;12(2):326.



Table 7. Genetic features of previously published cases of ovarian mesonephric-like adenocarcinoma.

Author	No. of Cases	KRAS Mutation	Other Recurrent Mutation	Recurrent Chromosomal Gain	Recurrent Chromosomal Loss
McFarland et al. [4]; Mirkovic et al. [5]	5	p.G12D (4/5); NA (1/5)	<i>PIK3CA</i>	1q	1p
Pors et al. [6]	1	NA		NA	NA
Chapel et al. [7]	1	–	<i>NRAS,</i> <i>PIK3CA,</i>	1q, 4, 7, 13, 18p, 21	1p, 11, 18q, 19, 22, X
McCluggage et al. [8]	5	p.G12D (1/5); NA (4/5)	<i>CTNNB1,</i>	NA	NA
Pors et al. [9]	25	NA	<i>PTEN,</i>	NA	NA
Dundr et al. [10]	1	p.G12C	<i>ARID1A,</i>	–	–
Seay et al. [11]	1		<i>CHEK2</i>	–	–
Chen et al. [12]	1			NA	NA
da Silva et al. [13]	15	p.G12D (5/15); p.G12V (8/15); -(2/15)	<i>PIK3CA,</i> <i>CTNNB1,</i> <i>ARID1A,</i>	1q, 2, 6, 7, 8, 9, 10, 12, 16, 17, 20, 21, X	1p, 4, 6, 15, 18, 22, X
Deolet et al. [14]	4	p.G12A (2/4); p.G12V (1/4); -(1/4)	<i>PIK3CA,</i> –	1q, 12, 17, 21	–
Kim et al. [37]	1	p.G12V		–	–
Total [4–14,37]	60	p.G12D (10/28); p.G12V (10/28); p.G12A (2/28); p.G12C (1/28); -(5/28)			

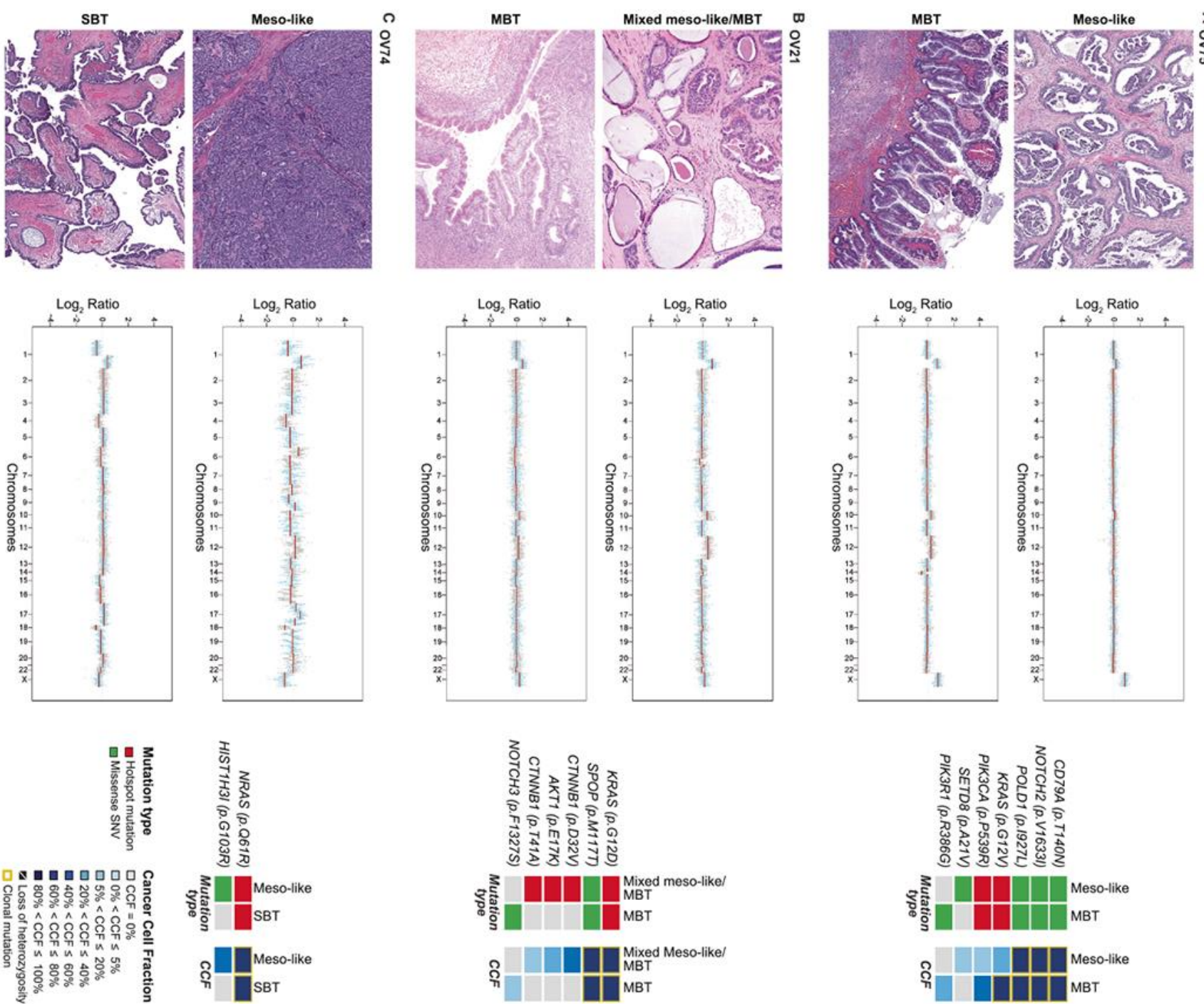
Abbreviations: –, absent. Numbers enclosed in parenthesis in each cell indicate the number of positive cases per total cases reported in each article.

Mirkovič et al, 2018: 7 prípadov MLA, všetky s mutáciami *KRAS*, *PIK3CA* v 3 prípadoch, bez alterácií *PTEN*, *ARID1A* a *TP53*; 5/7 s 1q ziskami 2x straty 1p

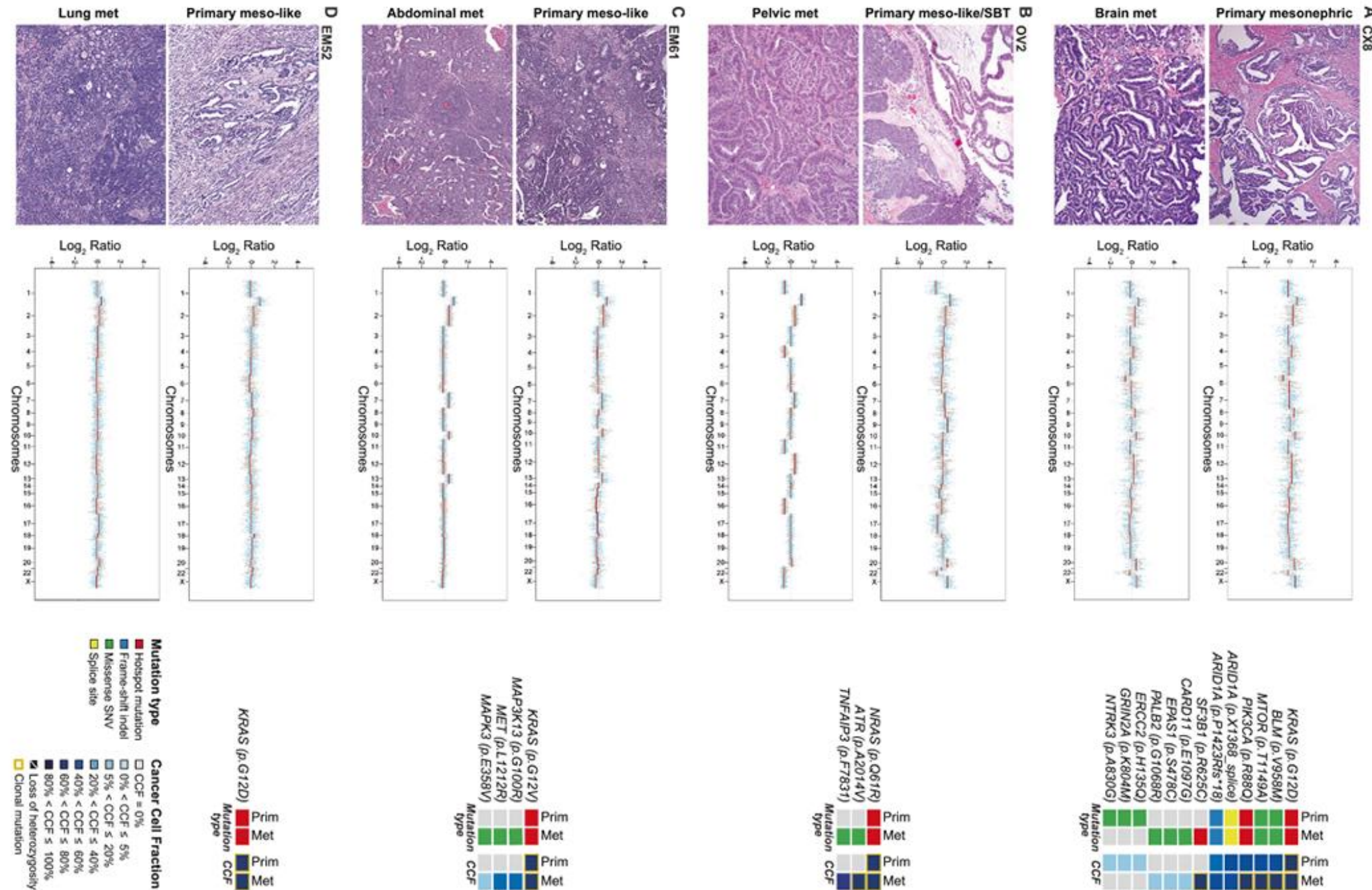
**da Silva EM,
et al.**
*Mesonephric
and
mesonephric-
like
carcinomas of
the female
genital tract:
molecular
characterizati
on including
cases with
mixed
histology and
matched
metastases.*

Mod Pathol.
2021

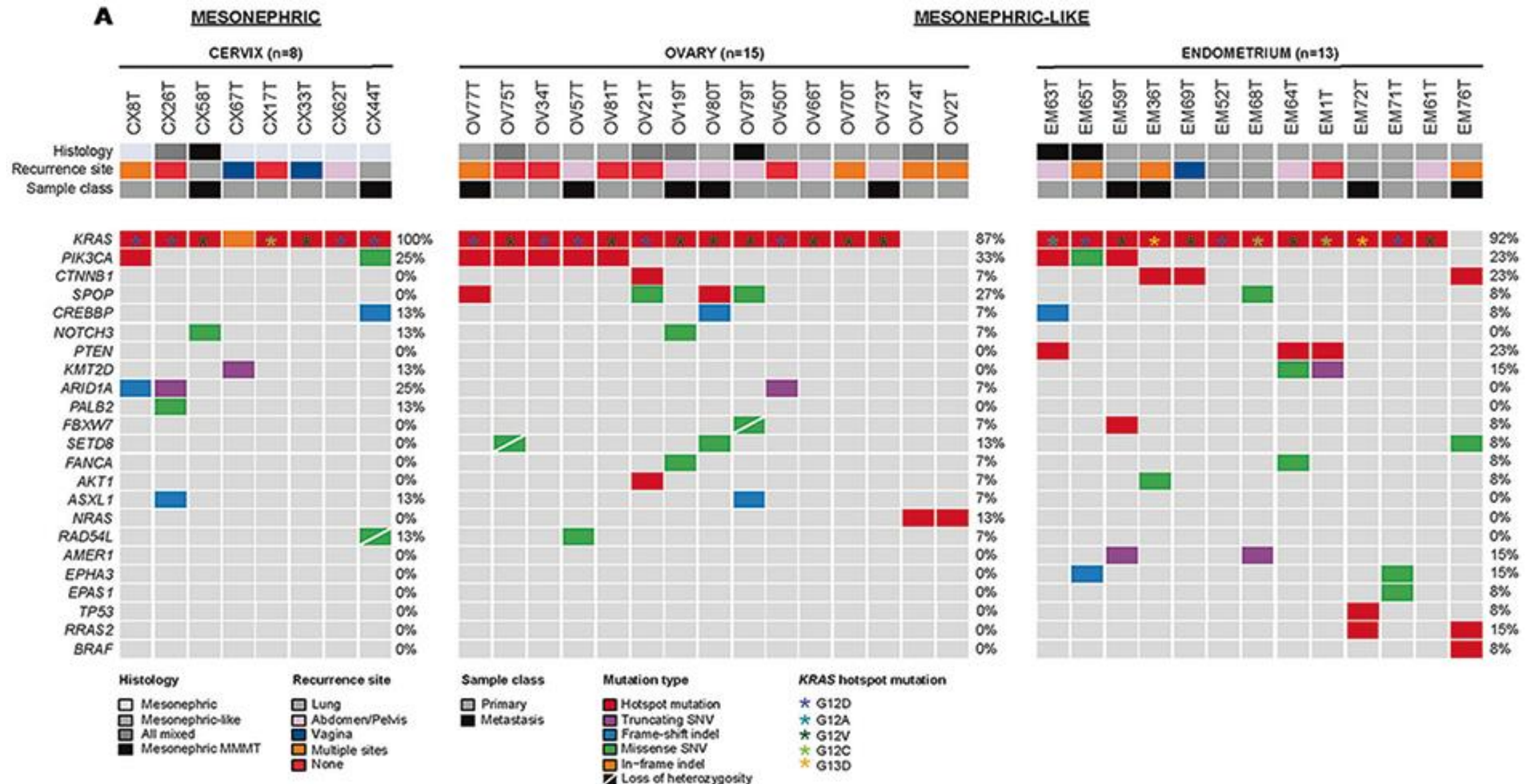
Aug;34(8):15
70-1587.



**da Silva EM,
et al.**
**Mesonephric
and
mesonephric-
like
carcinomas of
the female
genital tract:
molecular
characterizati
on including
cases with
mixed
histology and
matched
metastases.
Mod Pathol.
2021
**Aug;34(8):15
70-1587.****



A



B

MLA – klinické charakteristiky

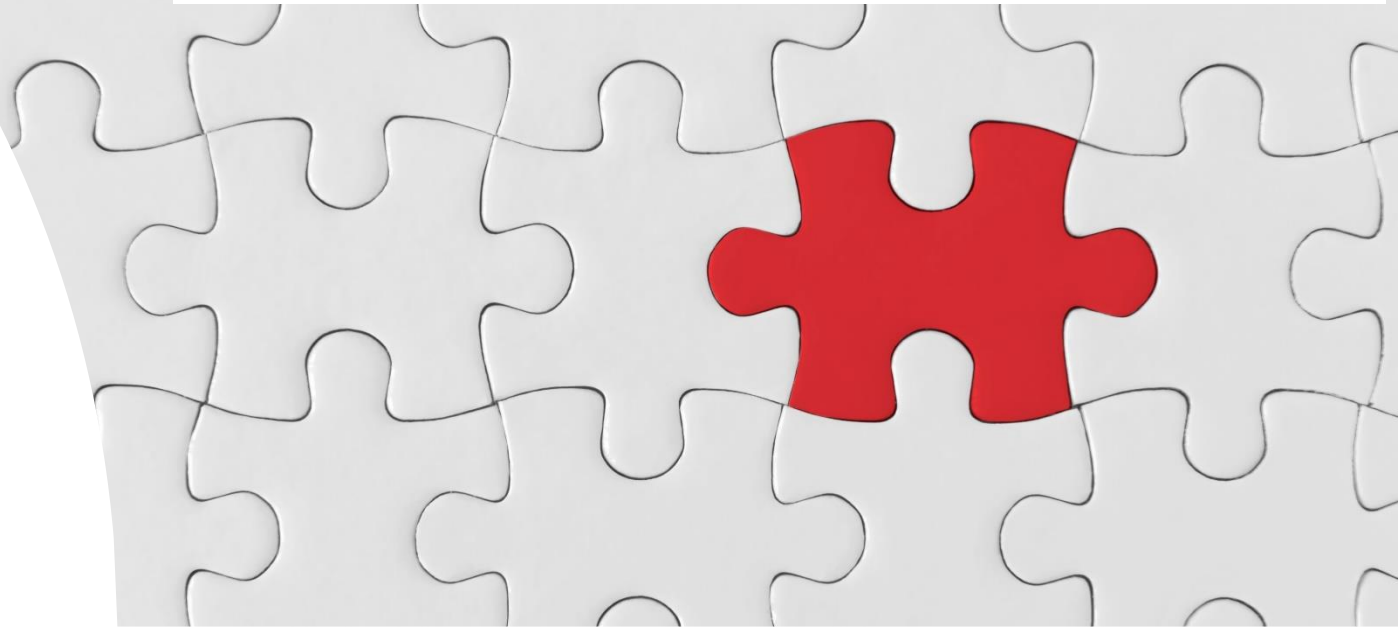
McCluggage WG. Mesonephric-like Adenocarcinoma of the Female Genital Tract: From Morphologic Observations to a Well-characterized Carcinoma With Aggressive Clinical Behavior. *Adv Anat Pathol.* 2022 Jul 1;29(4):208-216.

Koh HH, Park E, Kim HS. Mesonephric-like Adenocarcinoma of the Ovary: Clinicopathological and Molecular Characteristics. *Diagnostics (Basel).* 2022 Jan 27;12(2):326.

- **včasne menopauzárne ženy (36-81 rokov
(priem.61r.)**
- **nešpecifická klinická prezentácia
ovariálnych nádorov**
- diagnostika až na základe
**histomorfologických, IHC a mol.-gen.
charakteristík**

Aké časté sú MLA?

- doteraz opísaných ≈ 60 **prípadov**
- KRAS-mutované UMLA tvoria $\approx 1\%$ všetkých endometriálnych Ca (UMLA)
- OMLA sú pravdepodobne menej časté ako UMLA

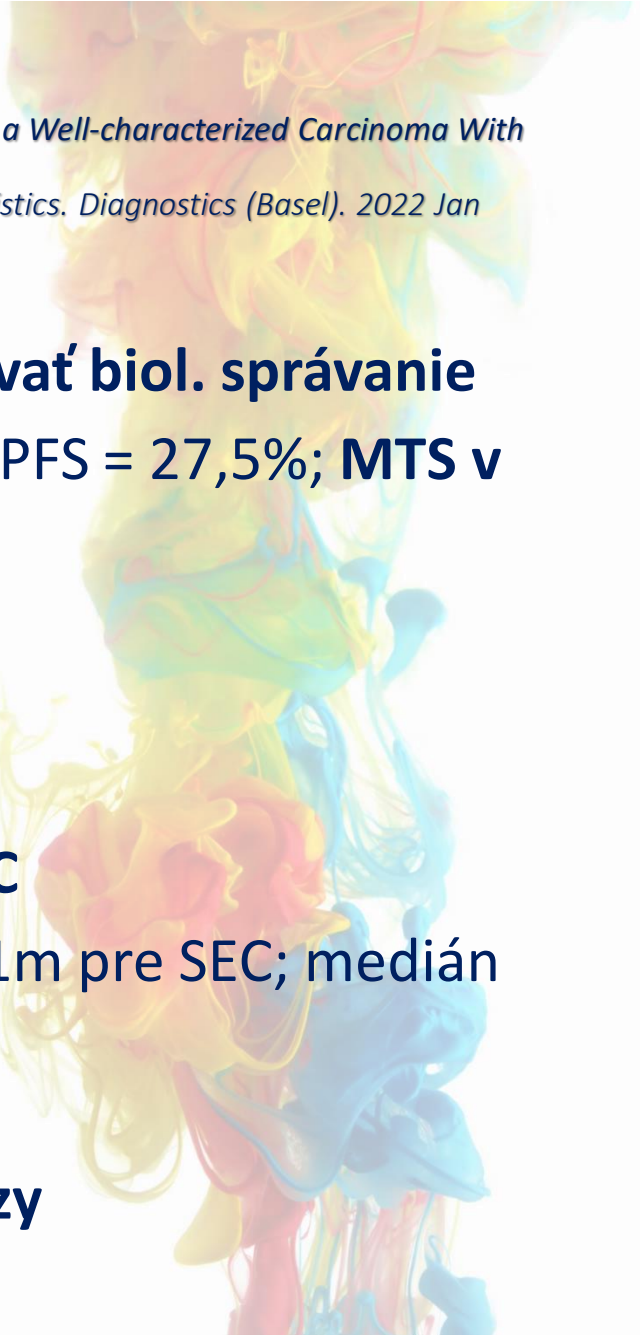


MLA – prognostické charakteristiky

McCluggage WG. Mesonephric-like Adenocarcinoma of the Female Genital Tract: From Morphologic Observations to a Well-characterized Carcinoma With Aggressive Clinical Behavior. *Adv Anat Pathol.* 2022 Jul 1;29(4):208-216.

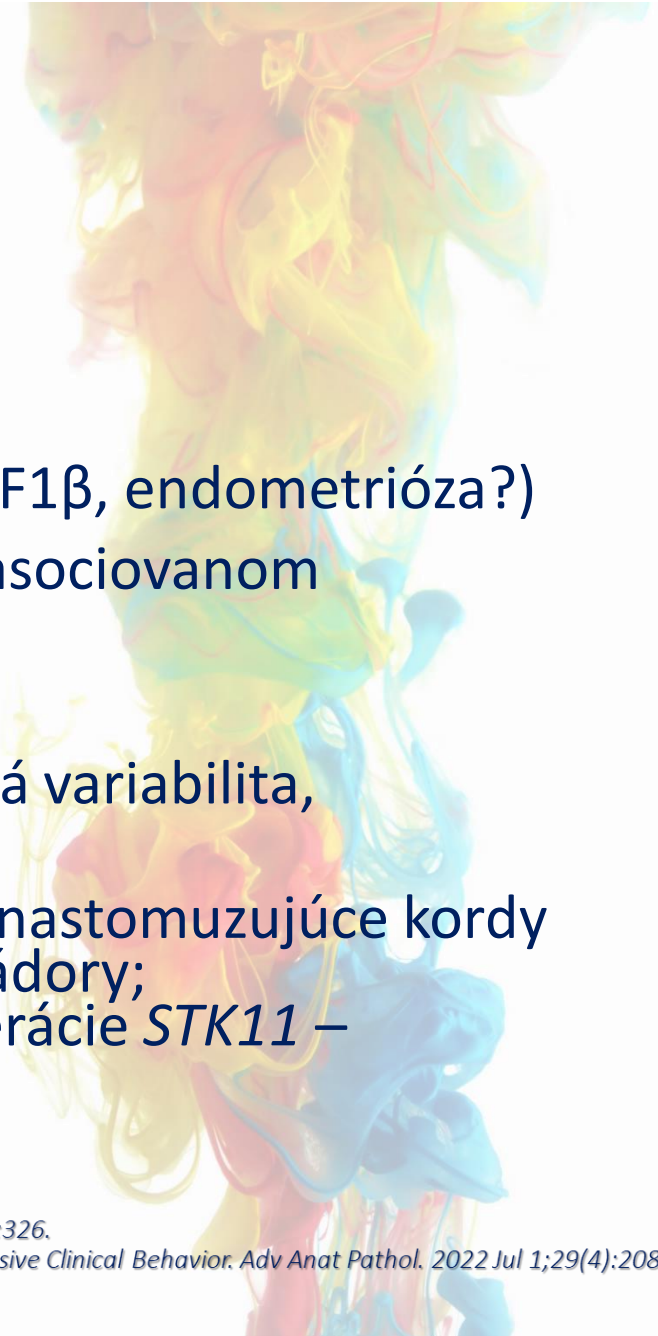
Koh HH, Park E, Kim HS. Mesonephric-like Adenocarcinoma of the Ovary: Clinicopathological and Molecular Characteristics. *Diagnostics (Basel).* 2022 Jan 27;12(2):326.

- 50% vo FIGO št.I; 5r. PFS = 68% - zatiaľ je predčasné stanovovať biol. správanie
- pri UMLA sú častejšie pokročilé štádia (64% v št.III a IV) a 5-r.PFS = 27,5%; MTS v plúcach
- II-IV.št. 39% OMLA (MC cervix 60% / UMLA 58%)
- 5r. DSS 74% pre MC cervixu; 72% pre UMLA a **71% pre OMLA**
- **UMLA horšie OS a DSS v porovnaní s LG-EC a podobné HG-EC**
- UMLA medián PFS 18,2m v porovnaní s 183m pri LG-EC a 67,1m pre SEC; medián OS pre MLA bol 70,6m v porovnaní so 139,1m pre SEC
- **MLA metastázujú do pečene, CNS, okulárne MTS (UMLA)**
- nepriaznivé znaky: ↑MAI (>10mf/10 HPF) / nádorové nekrózy



MLA - dif. dg.

- **HG SC** (nukl. atypia, MAI, SET, STIC, WT1+/p53+/KRAS-)
- **EC** (ER/PR+; skvam., mucin., sertoliform)
- **CCC** (bunkové charakteristiky, hyalínna a myxoid. stroma, HNF1 β , endometrióza?)
- **Malígna struma ovarii** (jadrá, TTF1, PAX8, TRG-) – pozor pri asociovanom teratóme
- MTS papilárneho Ca ŠŽ (TTF1+)
- Wolfianské tumory – **FATWO** (široké lig., mikroarchitektonická variabilita, ER+/PAX8-/TTF1-/GATA3-; KRAS-; CK7 len fok.)
- **STK11 adnexálny tumor** (extraovariálne/paratubárne, interanastomuzujúce kordy a trabekuly, myxoid. A edematózna stroma – ako salivárne nádory; inhibin+/kalretinin+/WT1+, PAX8-/GATA3-/TTF1-; molek. alterácie STK11 – asociácia PJS)



MLA – má význam adjuvantná Th?

Koh HH, Park E, Kim HS. Mesonephric-like Adenocarcinoma of the Ovary: Clinicopathological and Molecular Characteristics. *Diagnostics (Basel)*. 2022 Jan 27;12(2):326. doi: 10.3390/diagnostics12020326. PMID: 35204416; PMCID: PMC8871294.

Table 3. Pathological features.

Case No.	Tumor Location/Size (cm)	Ovarian Surface Extension	Peritoneal Washing Cytology	Uterine Extension	Pelvic Peritoneal Metastasis	Extrapelvic Peritoneal Metastasis	FIGO Stage	Associated Histology	Dominant Growth Pattern	Severe Nuclear Pleomorphism	Mitotic Count (per 10 HPFs)	TCN
1	RO/7.5	–	–	–	– (p); + (r)	– (p); + (r)	IA (p); IVB (r)	–	Ductal, spindle/solid, and tubular	Focal (p); Diffuse (r)	27 (p); 25 (r)	+
2	LO/4.7	+	+	–	–	–	IC	Endometriotic cyst	Tubular, ductal, and sex cord-like	–	6	–
3	LO/11.0	+	–	–	–	–	IC	Endometriotic cyst	Tubular and ductal	–	3	–
4	LO/6.0	–	+	–	–	–	IC	Endometriotic cyst	Ductal, tubular, papillary, and clear	–	5	–
5	RO/6.0	–	NA	+	+	–	IIB	Endometriosis	Tubular and spindle/solid	Focal	17	+

Abbreviations: HPFs, high-power fields; LO, left ovary; NA, not applicable; p, primary; r, recurrent; RO, right ovary; TCN, tumor cell necrosis; +, present; –, absent.

MLA – má význam adjuvantná Th?

Koh HH, Park E, Kim HS. Mesonephric-like Adenocarcinoma of the Ovary: Clinicopathological and Molecular Characteristics. *Diagnostics (Basel)*. 2022 Jan 27;12(2):326. doi: 10.3390/diagnostics12020326. PMID: 35204416; PMCID: PMC8871294.

Table 2. Clinical features.

Case No.	Age (yrs)	Presenting Symptom	Imaging Finding	CA 125 (U/mL)	CA 19-9 (U/mL)	Clinical Impression	Surgical Treatment	Adjuvant Treatment	Recurrence	Treatment for Recurrence	DFS (mos)	Status	OS (mos)
1	42	Pelvic mass	7.4-cm cystic right ovarian mass with internal solid nodules	72.5	80.1	Ovarian clear cell carcinoma	TH with BSO, PLND, PALND, peritonectomy, and omentectomy (PDS)	–	Lung, liver, and peritoneum	PLND, PALND, peritonectomy, omentectomy, appendectomy, and hepatectomy (SDS), and chemotherapy	13	Dead	39
2	53	–	4.8-cm cystic left ovarian mass with small enhancing nodules	26.8	NA	Ovarian borderline tumor or carcinoma	TH with BSO, PLND, peritonectomy, and omentectomy (PDS)	Chemotherapy	–	–	21	Alive (NED)	21
3	57	Abdominal distension	10.9-cm cystic left ovarian mass with solid component	12.2	25.4	Ovarian borderline tumor or carcinoma	BSO with PLNS, peritonectomy, and omentectomy (PDS)	Chemotherapy	–	–	11	Alive (NED)	11
4	61	Pelvic mass	Solid and cystic left ovarian mass showing intense hypermetabolic activity	NA	NA	Ovarian carcinoma	TH with BSO, PLND, PALND, peritoneal biopsy, and omentectomy (PDS)	Chemotherapy	NA (follow-up loss)	NA	NA	NA	NA
5	52	Pelvic mass	5.8-cm solid mass involving the right lateral uterine wall	108.8	9.3	Uterine leiomyoma or LMS	TH with BSO and peritonectomy (PDS)	Chemotherapy	–	–	53	Alive (NED)	53

Abbreviations: BSO, bilateral salpingo-oophorectomy; CA 19-9, cancer antigen 19-9; CA 125, cancer antigen 125; DFS, disease-free survival; LMS, leiomyosarcoma; mos, months; NA, not applicable; NED, no evidence of disease; OS, overall survival; PALND, para-aortic lymph node dissection; PDS, primary debulking surgery; PLND, pelvic lymph node dissection; PLNS, pelvic lymph node sampling; SDS, secondary debulking surgery; TH, total hysterectomy; yrs, years; –, absent.

Súčasný stav pacientky

Nález zo dňa 12.08.2022 10:34h

Chemoterapeutické konzílium ambulantné bez prítomnosti pacientky

- Ide o 61r. pacientku s TU ľ. ovária, histologicky: "mesonephric-like" adenokarcinóm pravého ovaria, serózny cystadenóm ľavého ovaria asociovaný s endometriázou,
- leiomyómy maternice, endometriálny polyp, inic. štádium pT1a NX MX od 6-7/2022. Dňa 14/07/2022: hysterectomia abd., adnexectomy bilateralis, omentectomy totalis (limitovaný výkon pre anesteziol. riziko) - vid' OP nález.

Odporučanie:

- Ide o veľmi raritný tumor, vzhľadom k rozsahu ochorenia indikujem **observáciu**.

Súčasný stav pacientky

Posledná kontrola **02.09.2022**

Anamnéza:

- Cíti sa dobre.

Objektívne:

- vulva bpn, vagina slepo sa končí-sliznica zhojená. palP. malá panva voľná.

Diagnostický záver:

- C56. Zhubný nádor vaječníka

Záver:

- Pošva zhojená. Malá panva voľná. kontrola o 3 mes.
2.12.2022.

Záver

- **Ovariálny MLA – nová zriedkavá entita** (známa od 2016), uvedená do 5.ed.WHO klasifikácie (2020)
- **ľahko zameniteľná s inými léziami ovaria** (EC, FATWO, a pod.)
- **často asociovaná s inými léziami** (endometrióza, a pod.)
- treba na ňu myslieť v **dif. dg. pri nádoroch s nezvyčajnými histomorfologickými, resp. IHC črtami** (ER-/PR-, GATA3+/TTF1+, a pod.)
- význam správnej dg. je z **progn. hľadiska - HIGH-GRADE KARCINÓM**

„....ovarian MLAs should be suspected when an **endometrioid morphology is encountered, but with more variable architectures and absence of hormone receptors. GATA3 and TTF1 positivity will then help in the diagnosis**“
Karpathiou G, et al. Ovarian mesonephric-like adenocarcinoma: morphological diversity and histogenetic considerations of an unusual tumour. Pathology. 2022 Aug;54(5):647-650.

A black cat is lying on its side on a light-colored stone floor. It is wearing a blue collar with small red stars and white rectangular plates. The cat is looking upwards and slightly to the right. The background shows a wall made of large, light-colored stones.

d'akujem za pozornosť